

SOBRE A DISTRIBUIÇÃO DO PARÂMETRO DE
CORREÇÃO NUM MODELO LINEAR
REDUZIDO DE APRENDIZAGEM

VILMA MAYUMI TACHIBANA



UNICAMP

UNIVERSIDADE ESTADUAL DE CAMPINAS
INSTITUTO DE MATEMÁTICA, ESTATÍSTICA E CIÊNCIA DA COMPUTAÇÃO

CAMPINAS - SÃO PAULO
BRASIL

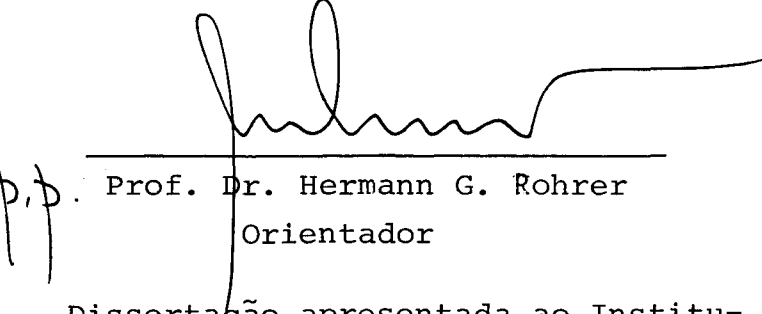
T117s

6093/BC

SOBRE A DISTRIBUIÇÃO DO PARÂMETRO DE CORREÇÃO NUM MODELO LINEAR REDUZIDO DE APRENDIZAGEM

Este exemplar corresponde a redação final da tese defendida pela Sra. Vilma Mayumi Tachibana e aprovada pela comissão julgadora.

Campinas, 31 de Janeiro de 1984.


Prof. Dr. Hermann G. Rohrer
Orientador

Dissertação apresentada ao Instituto de Matemática, Estatística e Ciência da Computação, UNICAMP, como requisito parcial para a obtenção do título de Mestre em Estatística.

UNICAMP
BIBLIOTECA CENTRAL

Aos meus pais, vovô
Mi, Sá e New;
Lúcia e vó Katsuko
(que se transformaram
em luzes no decorrer
da tese).

- Professor Hermann G. Hohrer, por ter aceito o encargo da orientação deste trabalho, manifestando paciência, compreensão e competência em todas as fases de elaboração;
- Amiga prof. Regina Célia Moran, pela inestimável ajuda com críticas e sugestões,
- Colegas, professores e alunos do IMECC, pelos bons momentos proporcionados durante estes anos, valorizando as palavras amizade e respeito mútuo,
- funcionários do IMECC, pela eficiência nos serviços prestados, principalmente pela amizade,
- Lourdes, pelo paciente e perfeito trabalho datilográfico e também pela presteza e responsabilidade no atendimento,
- Todos que direta ou indiretamente contribuiram para realização deste trabalho,

Muito obrigada!

INDÍCE

CAPÍTULO I - Introdução	1
1.1 - Histórico	1
1.2 - Um sistema linear capaz de aprender	2
1.3 - Considerações sobre a construção de um sistema capaz de aprender	8
1.4 - Objetivo do trabalho	12
CAPÍTULO II - Desenvolvimento Análítico	14
2.1 - Distribuição Exata	14
2.2 - Distribuição da Estatística de Ordem Assintótica.	34
CAPÍTULO III - Desenvolvimento por Simulação	40
3.1 - Procedimento da Simulação	40
3.2 - Estimação dos Parâmetros de uma Beta (p,q) . . .	45
CAPÍTULO IV - Resultados	50
CAPÍTULO V - Conclusão	75
APÊNDICE I	77
BIBLIOGRAFIA	105

CAPÍTULO I

INTRODUÇÃO

1.1. HISTÓRICO

O estudo matemático de processos de aprendizagem se originou de certos experimentos da escola de psicologia denominada comportamentalismo. A fim de entender melhor os conceitos aqui usados, vamos apresentar um experimento introduzido por Humphreys (1939).

Foi colocada uma lâmpada na extrema direita e outra de igual intensidade na extrema esquerda de um lado de uma mesa. A iluminação dessas lâmpadas era manipulada pelo experimentador ("professor"), fora da vista dos sujeitos ("alunos"). As lâmpadas eram facilmente observadas pelos "alunos" de vários ângulos na sala de experiência. A primeira lâmpada era estímulo inicial e quando acendia indicava o início de um ensaio. A lâmpada esquerda era sempre ligada pelo experimentador e os "alunos" foram instruídos para escreverem em espaços preparados: "X" se eles esperavam que em seguida seria acesa a lâmpada direita e "O" a ausência da luz. Depois de 5 segundos, algumas vezes a lâmpada direita era acesa, indicando se os alunos acertavam ou não a resposta. Pôr causa disso, o sinal da lâmpada direita é chamado de reforço, e os alunos

tinham que "aprender" a frequência de acendimento da lâmpada - reforço. Após um certo número de ensaios, Humphreys constatou que a frequência de acendimento da lâmpada direita era quase igual a frequência de "X". No sentido restrito em que nós induzimos a palavra "aprender", podemos dizer que os alunos aprendiam.

Em seguida vários autores construiram modelos matemáticos, demonstrando o mesmo comportamento daquele observado por Humphreys. O interesse em uma discussão matemática não está em explicar os fenômenos que podemos observar na "natureza", mas estudar sobre os fenômenos apresentados por máquinas com características de imitar as construções e os comportamentos das preposições desenvolvidas por seres humanos. Estas máquinas são as que fazem: leitura automática de caracteres, classificação de figuras geométricas, algoritmos de classificação, etc.

Agora, temos como objetivo principal resolver a questão de como podemos construir tais algoritmos capazes de aprender.

1.2. UM SISTEMA LINEAR CAPAZ DE APRENDER

DEFINIÇÃO 1.2.1. Um sistema linear capaz de aprender medidas é dado pela quintupla

$$(\Omega, S, g, f, v)$$

onde temos:

Ω : é a classe dos conjuntos do "ambiente" do sistema com uma σ -álgebra S ;

$g: S \rightarrow \mathbb{R}^+$ é a medida de um "evento" $A \in S$ como "apresentação" de um evento no meio do sistema;

$v: S \rightarrow \mathbb{R}^+$ é uma medida de um evento $A \in S$ como "suposição" do sistema sobre um evento;

$f: g \times v \rightarrow v$ é uma função de correção da "memória" (o conjunto das suposições) do sistema após ocorrência de um evento $A \in S$.

Se as medidas na definição 1.1.1 são normalizadas a 1, o sistema é chamado um sistema capaz de aprender probabilidades. E nesse sistema, para S' uma subclasse de S , podemos obter equações funcionais através da propriedade de medida de v , para os seguintes casos:

1. S' é uma subclasse que contém conjuntos disjuntos;
2. S' é uma subclasse que contém conjuntos que são p-independentes.

No primeiro caso, através das equações

$$v(A \cup B) = v(A) + v(B) \implies$$

$$f'(g(A \cup B), v(A \cup B)) = f'(g(A), v(A)) + f'(g(B), v(B))$$

segue a função ajuste aditivo

$$f'(g(A), v(A)) = -\frac{\beta g(A) + \alpha v(A)}{\beta + \alpha}, \quad (1.2.1)$$

$$(\beta, \alpha) \neq (0, 0), \quad \beta, \alpha \in \mathbb{R}^+$$

E para o segundo caso, temos através das

$$v(A \cap B) = v(A) + v(F)$$

$$f^*(g(A \cap B), v(A \cap B)) = f^*(g(A), v(A)) + f^*(g(B), v(B))$$

segue a função ajuste multiplicativo

$$f^*(g(A), v(A)) = \frac{(g(A))^{\beta} (v(A))^{\alpha}}{\int_{S'} (g(w))^{\beta} (v(w))^{\alpha} dw} \quad (1.2.2)$$

com $\beta, \alpha \in \mathbb{R}$

Desde que $c \cdot \log(f^*) = f'$, com $c > 0$, então f^* é uma função monotonicamente crescente de f . Portanto achamos suficiente tratar a função dada por 1.2.1.

Existem, claramente, vários tipos de aprendizagem, associados a sistemas capazes de aprender; um deles é:

O sistema puramente estocástico, definido pela fórmula de recorrência

$$v_N = \beta_N g_N + \alpha_N v_{N-1}, \quad (\beta_N, \alpha_N) \in (0, 1)^2, \quad \forall N \quad - \quad (1.2.3)$$

onde N é o índice de tempo, e as distribuições das variáveis aleatórias g_{N+1} , β_{N+1} e α_{N+1} são cópias das distribuições aleatórias g_N , β_N e α_N para $N \geq 1$. Os coeficientes α e β podem ser considerados como parâmetros para a classificação de processos de aprendizagem, isto é, para sequências de ajustamentos ou correções.

Aqui tratamos do caso mais geral, onde em cada etapa de "aprendizagem", os parâmetros α_N e β_N são escolhidos independentemente das distribuições sobre \mathbb{R}^+ com $\mathbb{E}(\alpha)$ e $\mathbb{E}(\beta)$ finitas e $0 < \mathbb{V}(\alpha) < \infty$ e $0 < \mathbb{V}(\beta) < \infty$. E também em cada etapa um vetor g_N é escolhido de uma distribuição sobre \mathbb{R}^n com esperanças e variâncias finitas.

Então

a) $\lim_{N \rightarrow \infty} \mathbb{E}(v_N)$ existe e tem o valor

$$\mathbb{E}(v_\infty) = \frac{\mathbb{E}\beta}{1 - \mathbb{E}\alpha} \mathbb{E}g \quad (1.2.4)$$

se e somente se $\mathbb{E}\alpha < 1$.

b) $\lim_{N \rightarrow \infty} \mathbb{V}(v_N)$ existe com

$$\mathbb{V}(v_\infty) = \frac{1}{1 - \mathbb{E}\alpha^2} (\mathbb{V}\beta g + \mathbb{E}^2(v_\infty) \mathbb{V}\alpha) \quad (1.2.5)$$

se e somente se $\mathbb{E}\alpha^2 < 1$.

Agora, queremos uma relação entre as variáveis aleatórias α e β para termos um processo de aprendizagem não-viciado, um processo para qual vale $\mathbb{E}(v_\infty) = \mathbb{E}g$. Achamos que para isso:

$$\mathbb{E}\beta + \mathbb{E}\alpha = 1 \quad (1.2.6)$$

Certamente, a maneira mais fácil de assegurar a validade da equação (1.2.6), consiste em fazer

$$\beta = 1 - \alpha, \quad (1.2.7)$$

perdendo a independência entre α e β . Procedendo dessa maneira, temos o segundo tipo de aprendizagem:

O sistema reduzido, caracterizado pela fórmula de recorrência

$$v_N^* = (1 - \alpha_N) g_N + \alpha_N v_{N-1}^* \quad (1.2.8)$$

onde as distribuições das variáveis aleatórias g_{N+1} e α_{N+1} são cópias das variáveis g_N e α_N , respectivamente, para todos os $N \geq 1$, e as variáveis são p-independentes entre si.

Então valem:

a) $\lim_{N \rightarrow \infty} \mathbb{E}(v_N^*) = \mathbb{E}v_\infty^* = \mathbb{E}g \quad (1.2.9)$

se e somente se $\mathbb{E}\alpha < 1$.

$$b) \lim_{N \rightarrow \infty} IV(v_N^*) = IV(v_\infty^*) = \frac{\mathbb{E} (1 - \alpha)^2}{\mathbb{E} (\alpha^2)} IV g \quad (1.2.10)$$

se e somente se $\mathbb{E} \alpha^2 < 1$.

Temos o seguinte corolário que descreve vantagens que um processo reduzido tem sobre puramente estocástico.

COROLÁRIO 1.2.1. Se as variáveis α e g são idênticas as variáveis α e g no processo reduzido, temos

$$IV v_\infty^* \leq IV g \iff \mathbb{E} \alpha \geq \mathbb{E} \alpha^2 \quad (1.2.11)$$

Se $\mathbb{E} g = 0$, então

$$IV v_\infty \leq IV g \iff \mathbb{E} \beta^2 \leq \mathbb{E} (1 - \alpha^2) \quad (1.2.12)$$

Se $\mathbb{E} g \neq 0$

$$IV v_\infty \leq IV g \iff \frac{IV \beta + [\frac{\mathbb{E} \beta}{1 - \mathbb{E} \alpha}]^2 IV \alpha}{1 - (\mathbb{E} \beta^2 + \mathbb{E} \alpha^2)} \leq \frac{IV g}{\mathbb{E}^2 g} \quad (1.2.13)$$

$$\text{e } \mathbb{E} \beta^2 + \mathbb{E} \alpha^2 \leq 1.$$

$$\text{Se } \mathbb{E} \beta^2 + \mathbb{E} \alpha^2 > 1 \implies IV v_\infty \geq IV g.$$

A equação (1.2.1) restringe os parâmetros α e β no espaço \mathbb{R}^+ , então para o caso reduzido $\alpha \geq 0$ e $1-\alpha \geq 0$. Nesse caso α é uma variável aleatória definida sobre o intervalo $(0,1)$ cumprindo sempre $E\alpha \geq E\alpha^2$.

Então o processo reduzido sempre produz uma distribuição da variável aleatória v_∞ , cuja variância é menor do que aquela variável aleatória a ser aprendida, isto é $V(v_\infty^*) \leq Vg$. As demonstrações e maiores discussões acham-se em Rohrer (1978).

1.3. CONSIDERAÇÕES SOBRE A CONSTRUÇÃO DE UM SISTEMA CAPAZ DE APRENDER.

O nosso sistema "capaz de aprender" está exposto a um ambiente, que produz sequências de padrões a serem classificados. Ele deveria aprender classificações certas. A probabilidade deverá ser entendida como uma estimativa da chance de que a designação de padrões para as classes, tenha sucesso.

O nosso sistema capaz de aprender (Ω, S, g, f, v) sabe que existe um agrupamento \mathcal{C} sobre Ω , com várias subclasses $C_i \in \mathcal{C}$. E também que qualquer padrão g pertence a uma classe C_i . No sistema que está sendo apresentado, as subclasses são descritas por "modelos" R_j ($\hat{=} v_j$).

No nosso caso específico, trabalhamos sobre um espaço \mathbb{R}^n onde localizam-se as subclasses caracterizadas por hipercubos

com distribuição inicial uniforme para os R_j , e os padrões tem distribuição multinormal. Supomos que o sistema conhece os números das subclasses de Ω em C , mas não conhece o próprio C . Supomos também que, pelo menos na parte inicial do processo de aprendizagem, o sistema tem um professor ao lado que pode verificar as classificações do sistema de tal forma que quando o sistema errou (isto é, $g \in C_i$ não vale) ele dá a classificação certa (isto é, $g \in C_k$, com $k \neq i$). No outro caso (quando o sistema não errou) ele simplesmente reafirma a classificação dada.

Quanto ao sistema, C depende apenas do professor, e se ele mudar, o conhecimento aprendido anteriormente sobre C pode estar sujeito a mudanças. Se as subclasses C_i e C_k tinham representantes v_i e v_k na memória do sistema ($v_i \neq v_k$), e estas classes não são consideradas mais distintas (por exemplo, por uma mudança do professor), queremos então como uma exigência mínima que os representantes v_i e v_k se "aproximem", talvez até coincidir, isto é, que o sistema extinga da sua memória a distinção entre as duas classes. Verbos como "aproximar, coincidir" implicam tacitamente na existência de uma métrica. Explicitamente vamos exigir que o \mathbb{R}^n das "apresentações" e das "suposições" possua a métrica euclidiana, denominada por $\|\cdot\|$. As decisões tomadas pelo sistema são baseadas em medições de distâncias entre "modelos" e os padrões submetidos. Quer dizer é escolhido como certo o modelo R_j que apresentou a menor distância do padrão submetido. No nosso caso específico, calculadas as distâncias D_j , entre pontos

R_j uniformes n-dimensional e o padrão normal n-dimensional, escolhemos como certo o modelo R_k correspondente a menor distância D_k .

E a cada etapa corrigimos o modelo R_k escolhido como certo, a fim de que ele realmente sempre forneça a menor distância D_j .

Então, para que ocorra a convergência do processo de aprendizagem, é necessário que a função correção satisfaça a seguinte condição de Lipschitz:

$$\sup_{v_i^{(N)} \neq v_k^{(N)}} \frac{\|f(g, v_i^{(N)}) - f(g, v_k^{(N)})\|}{\|v_i^{(N)} - v_k^{(N)}\|} \leq 1 . \quad (1.3.1)$$

Isto é, f é uma função que diminui distância, pois aplicando-o sobre o sistema reduzido, pelas vantagens citadas anteriormente, a condição fica:

$$\begin{aligned} & \| (1-\alpha_N) g_N + \alpha_N v_i^{(N)} - ((1-\beta_N) g_N + \beta_N v_k^{(N)}) \| \\ & \leq \| v_i^{(N)} - v_k^{(N)} \| , \quad \forall v_i^{(N)} \neq v_k^{(N)} \end{aligned} \quad (1.3.2)$$

Apenas com as condições anteriormente impostas sobre α e β (ou α e $(1-\alpha)$ no processo de aprendizagem reduzido), ou seja, $(\alpha, \beta) \in (0,1)^2$; não podemos obter a propriedade de adaptação a qualquer mudança no ambiente do sistema. Então para que possamos

obter tal propriedade, devemos impor mais algumas restrições sobre as variáveis α e β .

Então Rohrer (1978) chegou que um operador definido como

$$\beta = 1 - \alpha(g_N, \{v_i^{(N)}\}) = \frac{\|g_N - v_i^{(N)}\|}{\max_{1 \leq j \leq S} \|g_N - v_j^{(N)}\| + a}, \quad a \in \mathbb{R}^+ \quad (1.3.3)$$

cumpre a condição (1.3.1).

A função de aprendizagem reduzido será escrita explicitamente como:

$$v_i^{(N+1)} = \frac{\|g_N - v_i^{(N)}\|}{\max_{1 \leq j \leq S} \|g_N - v_j^{(N)}\| + a} g_N + \left(1 - \frac{\|g_N - v_i^{(N)}\|}{\max_{1 \leq j \leq S} \|g_N - v_j^{(N)}\| + a}\right) v_i^{(N)}, \quad (1.3.4)$$

$a \geq 0.$

Segundo o teorema de Iosifescu (1969), esta função de aprendizagem introduz para v uma distribuição assintoticamente normal.

Podemos ver que a forma de (1.3.4) mostra um comportamento que se espera intuitivamente de uma tal função: se o padrão em questão está perto do representante de sua classe, este representante não precisa ser corrigido muito, e no caso contrário, se o padrão se encontrou muito distante, a função assegura que a memória sobre esta classe será mudada drasticamente. Isto quer dizer

que quando cria-se os representantes de uma subclasse (a maneira não importa) e se eles forem mal criados, a função de correção assegura que a aproximação aos representantes "verdadeiros" acontece relativamente rápida, e se forem bem criados, esta mesma função de correção assegura que este estado bom não é deixado.

1.4. OBJETIVO DO NOSSO TRABALHO.

Dado um ambiente, se utilizamos a função de correção β da maneira como foi definida em 1.3.3, ocorre a convergência do processo de aprendizagem.

Então temos como interesse principal determinar a distribuição dessa variável aleatória β , em um caso específico. Nós escolhemos o seguinte ambiente experimental:

- 1) os pontos (padrões) g são criados através de uma distribuição multinormal.
- 2) cada classe é caracterizada por um hipercubo com distribuição uniforme.

No capítulo II, fazemos um desenvolvimento analítico e derivamos a distribuição da variável aleatória β . Devido a intratabilidade da função densidade de probabilidade β , numa forma simples e explícita, recorremos ao auxílio de um computador. No capítulo III, damos um enfoque paramétrico, simulamos as variáveis β e

estimamos os parâmetros de uma distribuição Beta (p,q); a distribuição que propomos para a nossa variável β . Essas variáveis nem sempre podem ser consideradas distribuídas como Beta (p,q). Então no capítulo IV, verificamos quais as condições necessárias para que β venha a ter distribuição proposta. No capítulo V tiramos as conclusões finais expondo uma conjectura que possibilite um sistema capaz de aprender, não necessitar mais de uma presença constante de um "professor". Anexamos também um Apêndice, com o programa de simulação e um resultado fornecido por este programa.

CAPÍTULO II

DESENVOLVIMENTO ANALÍTICO

2.1. DISTRIBUIÇÃO EXATA.

Sejam x_1, x_2, \dots, x_n variáveis aleatórias independentes tendo a densidade normal

$$f_{X_i}(x_i) = \frac{1}{\sigma_i \sqrt{2\pi}} \exp\left\{-\frac{1}{2}\left(\frac{x_i - \mu_i}{\sigma_i}\right)^2\right\}, \quad -\infty < x_i < \infty \quad (2.1.1)$$

Denotamos $x_i \sim N(\mu_i, \sigma_i)$.

O k-ésimo momento dessa variável pode ser calculado através de

$$\mathbb{E} X_i^k = (M^{(k)}(t) | t = 0) / i^k, \quad i^2 = -1 \quad (2.1.2)$$

$t \in \mathbb{R}$, $k > 0$ é um inteiro, onde $M^{(k)}(t) |_{t=0}$ é a k-ésima derivada da sua função característica $M(t) = \exp(\mu_i t + \frac{\sigma_i^2 t^2}{2})$ no ponto $t = 0$.

Sejam y_1, y_2, \dots, y_n variáveis aleatórias independentes e tendo a densidade uniforme

$$f_{Y_i}(y_i) = \begin{cases} \frac{1}{b_i - a_i}, & a_i \leq y_i \leq b_i \\ 0, & \text{caso contrário} \end{cases} \quad (2.1.3)$$

Denotamos $Y_i \sim U(a_i, b_i)$.

O k -ésimo momento da variável aleatória Y_i é definido como

$$\mathbb{E} Y_i^{(k)} = \frac{b_i^{k+1} - a_i^{k+1}}{(k+1)(b_i - a_i)}, \quad k > 0 \text{ inteiro.} \quad (2.1.4)$$

Sejam w_1, w_2, \dots, w_n variáveis aleatórias, onde w_i são definidas como o quadrado da diferença entre as variáveis aleatórias x_i e y_i . Isto é,

$$w_i = (x_i - y_i)^2 = z_i^2.$$

Como primeiro passo, determinamos a função densidade da variável aleatória z_i . Por convolução temos que:

$$f_{Z_i}(z_i) = \int_{-\infty}^{\infty} f_{Y_i}(x_i - z_i) f_{X_i}(x_i) dx_i, \quad (2.1.5)$$

para $-\infty < x_i < \infty$ e $a_i \leq x_i - z_i \leq b_i$

Substituindo as densidades das variáveis x_i e y_i na função acima, temos:

$$\begin{aligned}
 f_{z_i}(z_i) &= \int_{a_i+z_i}^{b_i+z_i} f_{Y_i}(x_i - z_i) f_{X_i}(x_i) dx_i = \\
 &= \int_{a_i+z_i}^{b_i+z_i} \frac{1}{b_i - a_i} \frac{1}{\sqrt{2\pi}\sigma_i} e^{\frac{1}{2}(\frac{x_i - \mu_i}{\sigma_i})^2} dx_i = \\
 &= \frac{1}{b_i - a_i} \frac{1}{\sqrt{2\pi}} \int_{(a_i+z_i-\mu_i)/\sigma_i}^{(b_i+z_i-\mu_i)/\sigma_i} e^{-t^2/2} dt.
 \end{aligned}$$

Portanto, z_1, z_2, \dots, z_n é uma sequência de variáveis aleatórias independentes com a função densidade

$$f_{z_i}(z_i) = \frac{1}{b_i - a_i} \frac{1}{\sqrt{2\pi}} \int_{(a_i+z_i-\mu_i)/\sigma_i}^{(b_i+z_i-\mu_i)/\sigma_i} e^{-t^2/2} dt, \quad (2.1.6)$$

$$-\infty < z_i < \infty.$$

Tendo a densidade de Z_i , queremos obter a densidade da variável aleatória w_i , onde $w_i = z_i^2$.

A função densidade de w_i , para os valores de $w_i \geq 0$ é

$$\begin{aligned}
 f_{W_i}(w_i) &= \frac{1}{2\sqrt{w_i}} \{f_{Z_i}(\sqrt{w_i}) + f_{Z_i}(-\sqrt{w_i})\} = \\
 &= \frac{1}{2\sqrt{w_i}} \frac{1}{b_i - a_i} \frac{1}{\sqrt{2\pi}} \int_{(a_i - \mu_i - \sqrt{w_i})/\sigma_i}^{(b_i - \mu_i + \sqrt{w_i})/\sigma_i} e^{-t^2/2} dt + \\
 &+ \int_{(a_i - \mu_i - \sqrt{w_i})/\sigma_i}^{(b_i - \mu_i + \sqrt{w_i})/\sigma_i} e^{-t^2/2} dt. \tag{2.1.7}
 \end{aligned}$$

A média e a variância da variável aleatória w_i foram calculadas e são respectivamente

$$\mathbb{E}(w_i) = \mathbb{E}(x_i - y_i)^2 = \mathbb{E}x_i^2 - 2\mathbb{E}(x_i)\mathbb{E}(y_i) + \mathbb{E}(y_i^2).$$

Utilizando os resultados (2.1.2) e (2.1.4), temos que

$$\mathbb{E}(w_i) = \sigma_i^2 + \mu_i^2 - \mu_i(a_i + b_i) + \frac{b_i^2 + a_i b_i + a_i^2}{3} \tag{2.1.8}$$

$$\begin{aligned}
 \text{IV}(W_i) &= \text{IV}((X_i - Y_i)^2) = \mathbb{E}((X_i - Y_i)^4) - \mathbb{E}^2(X_i - Y_i)^2 = \\
 &= \mathbb{E}(X_i^4) - 4\mathbb{E}(X_i)\mathbb{E}(Y_i^3) + 6\mathbb{E}(X_i^2)\mathbb{E}(Y_i^2) - \\
 &\quad - 4\mathbb{E}(X_i^3)\mathbb{E}(Y_i) + \mathbb{E}(Y_i^4) - \mathbb{E}^2(X_i - Y_i)^2.
 \end{aligned}$$

Novamente, utilizando os resultados (2.1.2) e (2.1.4) mais os resultados (2.1.8) temos que

$$\begin{aligned}
 \text{IV}(W_i) &= 4\mu_i^2\sigma_i^2 + 2\sigma_i^4 - \frac{1}{3}\mu_i b_i^3 + \frac{1}{3}\mu_i a_i b_i^2 + \frac{1}{3}\mu_i a_i^2 b_i \\
 &\quad - \frac{1}{3}\mu_i a_i^3 + \frac{4}{3}\sigma_i^2 b_i^2 + \frac{4}{3}\sigma_i^2 a_i b_i + \frac{4}{3}\sigma_i^2 a_i^2 + \frac{1}{3}\mu_i^2 b_i^2 \\
 &\quad - \frac{2}{3}\mu_i^2 a_i b_i + \frac{1}{3}\mu_i^2 a_i^2 - 4\sigma_i^2 \mu_i a_i - 4\sigma_i^2 \mu_i b_i + \frac{4}{45}b_i^4 \\
 &\quad - \frac{1}{45}b_i^3 a_i - \frac{2}{15}a_i^2 b_i^2 - \frac{1}{45}a_i^3 b_i + \frac{4}{45}a_i^4 \tag{2.1.9}
 \end{aligned}$$

Agora, queremos estudar uma distribuição que meça a distância das variáveis normais e uniformes, seja esta medida D_n a distância euclidiana. $V_n = \sum_{i=1}^n W_i = \sum_{i=1}^n (X_i - Y_i)^2$, W_i independentes.

Então

$$D_n = \sqrt{V_n} = \sqrt{\sum_{i=1}^n w_i} = \sqrt{\sum_{i=1}^n (x_i - y_i)^2} \quad (2.1.10)$$

LEMA 2.1.1. A distribuição da variável aleatória V_n , soma das diferenças ao quadrado entre variáveis normais e uniformes é a seguinte:

$$f_{V_n}(v_n) = \begin{cases} \frac{1}{\frac{3n}{2}} \pi^{-n/2} \prod_{i=1}^n (b_i - a_i)^{-1} K(n) & \text{para } v_n \geq v_{n-1} \geq \dots \geq v_1 > 0 \\ 0 & \text{caso contrário} \end{cases}, \quad (2.1.11)$$

onde

$$K(n) = \begin{cases} \int_0^{v_n} K(n) (v_n - v_{n-1}) K(n-1) dv_{n-1} & \text{para } n \geq 2 \\ K(1)(v_1) & \text{para } n = 1. \end{cases}$$

e

$$K^{(i)}(v_i) = \frac{1}{\sqrt{v_i}} \left[\int_{(a_i - \mu_i + \sqrt{v_i})/\sigma_i}^{(b_i - \mu_i + \sqrt{v_i})/\sigma_i} e^{-t^2/t} dt + \int_{(a_i - \mu_i - \sqrt{v_i})/\sigma_i}^{(b_i - \mu_i - \sqrt{v_i})/\sigma_i} e^{-t^2/2} dt \right]$$

PROVA:

Para $n = 1$

$v_1 = w_1 = (x_1 - y_1)^2$, temos a densidade por (2.1.7)

$$f_{V_1}(v_1) = \begin{cases} \frac{1}{2\sqrt{v_1}} \frac{1}{b_1 - a_1} \cdot \frac{1}{\sqrt{2\pi}} \left\{ \int_{(a_1 - \mu_1 + \sqrt{v_1})/\sigma_1}^{(b_1 - \mu_1 + \sqrt{v_1})/\sigma_1} e^{-t^2/2} dt \right. + \\ \left. \int_{(a_1 - \mu_1 - \sqrt{v_1})/\sigma_1}^{(b_1 - \mu_1 - \sqrt{v_1})/\sigma_1} e^{-t^2/2} dt \right\}, & \text{para } v_1 > 0 \\ 0, & \text{caso contrário} \end{cases} \quad (2.1.12)$$

Esta função densidade pode também ser escrita como:

$$f_{V_1}(v_1) = \frac{1}{2^{3/2} (b_1 - a_1)} \cdot \frac{1}{\pi^{1/2}} K_{(1)} \quad (2.1.13)$$

onde

$$K_{(1)} = K^{(1)}(v_1) = \frac{1}{\sqrt{v_1}} \left[\int_{(a_1 - \mu_1 + v_1)/\sigma_1}^{(b_1 - \mu_1 + \sqrt{v_1})/\sigma_1} e^{-t^2/2} dt + \int_{(a_1 - \mu_1 - \sqrt{v_1})/\sigma_1}^{(b_1 - \mu_1 - \sqrt{v_1})/\sigma_1} e^{-t^2/2} dt \right]$$

Para $n = 2$

$v_2 = w_1 + w_2$, w_1 e w_2 são independentes.

A função densidade da variável aleatória v_2 é por convolução:

$$f_{v_2}(v_2) = \int_{-\infty}^{\infty} f_{w_2}(v_2 - v_1) f_{v_1}(v_1) dv_1, \quad 0 \leq v_2 - v_1 < \infty \implies v_1 < v_2$$

$$= \int_0^{v_2} f_{w_2}(v_2 - v_1) f_{v_1}(v_1) dv_1 = \int_0^{v_2} \frac{1}{2\sqrt{v_2 - v_1}} \frac{1}{b_2 - a_2} \frac{1}{\sqrt{2\pi}} \times$$

$$\times \left\{ \int_{(a_2 - \mu_2 + \sqrt{v_2 - v_1})/\sigma_2}^{(b_2 - \mu_2 + \sqrt{v_2 - v_1})/\sigma_2} e^{-t^2/2} dt + \int_{(a_2 - \mu_2 - \sqrt{v_2 - v_1})/\sigma_2}^{(b_2 - \mu_2 - \sqrt{v_2 - v_1})/\sigma_2} e^{-t^2/2} dt \right\} \times$$

$$\times \frac{1}{2\sqrt{v_1}} \frac{1}{b_1 - a_1} \frac{1}{\sqrt{2\pi}} \left\{ \int_{(a_1 - \mu_1 + \sqrt{v_1})/\sigma_1}^{(b_1 - \mu_1 + \sqrt{v_1})/\sigma_1} e^{-t^2/2} dt + \right.$$

$$\left. + \int_{(a_1 - \mu_1 - \sqrt{v_1})/\sigma_1}^{(b_1 - \mu_1 - \sqrt{v_1})/\sigma_1} e^{-t^2/2} dt \right\} dv_1.$$

Portanto, a função densidade da variável aleatória v_2 é

$$f_{V_2}(v_2) = \begin{cases} \frac{1}{(b_2 - a_2)(b_1 - a_1)2^2(2\pi)} \int_0^{v_2} \frac{1}{\sqrt{v_2 - v_1}} \left\{ \int_{(a_2 - \mu_2 + \sqrt{v_2 - v_1})/\sigma_2}^{(b_2 - \mu_2 + \sqrt{v_2 - v_1})/\sigma_2} e^{-t^2/2} dt \right. \\ \left. + \int_{(a_2 - \mu_2 - \sqrt{v_2 - v_1})/\sigma_2}^{(b_2 - \mu_2 - \sqrt{v_2 - v_1})/\sigma_2} e^{-t^2/2} dt \right\} \frac{1}{\sqrt{v_1}} \left\{ \int_{(a_1 - \mu_1 + \sqrt{v_1})/\sigma_1}^{(b_1 - \mu_1 + \sqrt{v_1})/\sigma_1} e^{-t^2/2} dt + \right. \\ \left. + \int_{(a_1 - \mu_1 - \sqrt{v_1})/\sigma_1}^{(b_1 - \mu_1 - \sqrt{v_1})/\sigma_1} e^{-t^2/2} dt \right\} dv_1, \text{ para } v_2 \geq v_1 > 0 \\ 0, \text{ caso contrário.} \end{cases} \quad (2.1.14)$$

Esta função (2.1.14) também pode ser escrita da seguinte maneira

$$f_{V_2}(v_2) = \frac{1}{2^3(b_2 - a_2)(b_1 - a_1)} \pi^{-1} \cdot K_{(2)} \quad (2.1.15)$$

onde

$$K_{(2)} = \int_0^{v_2} K^{(2)}(v_2 - v_1) K_{(1)} dv_1$$

e

$$K^{(2)}(v_2 - v_1) = \frac{1}{\sqrt{v_2 - v_1}} \left[\int_{(a_2 - \mu_2 + \sqrt{v_2 - v_1})/\sigma_2}^{(b_2 - \mu_2 + \sqrt{v_2 - v_1})/\sigma_2} e^{-t^2/2} dt + \right.$$

$$\left. + \int_{(a_2 - \mu_2 - \sqrt{v_2 - v_1})/\sigma_2}^{(b_2 - \mu_2 - \sqrt{v_2 - v_1})/\sigma_2} e^{-t^2/2} dt \right].$$

Suponhamos que temos a validade da função para $n-1$, isto é,

$$v_{n-1} = w_1 + w_2 + \dots + w_{n-1}.$$

$$f_{V_{n-1}}(v_{n-1}) = \begin{cases} \frac{1}{\pi} \int_{-\frac{3(n-1)}{2}}^{\frac{-(n-1)}{2}} \prod_{i=1}^{n-1} (b_i - a_i)^{-1} K_{(n-1)}, & \text{para } v_{n-1} \geq v_{n-2} \geq \dots \geq v_1 > 0 \\ 0, & \text{caso contrário.} \end{cases} \quad (2.1.16)$$

onde

$$K_{(n-1)} = \int_0^{v_{n-1}} K^{(n-1)}(v_{n-1} - v_{n-2}) K_{(n-2)} dv_{n-2}.$$

e

$$K^{(n-1)}(v_{n-1} - v_{n-2}) = \frac{1}{\sqrt{v_{n-1} - v_{n-2}}} \left[\int_{(a_{n-1} - \mu_{n-1} + \sqrt{v_{n-1} - v_{n-2}})/\sigma_{n-1}}^{(b_{n-1} - \mu_{n-1} + \sqrt{v_{n-1} - v_{n-2}})/\sigma_{n-1}} e^{-t^2/2} dt \right. \\ \left. + \int_{(a_{n-1} - \mu_{n-1} - \sqrt{v_{n-1} - v_{n-2}})/\sigma_{n-1}}^{(b_{n-1} - \mu_{n-1} - \sqrt{v_{n-1} - v_{n-2}})/\sigma_{n-1}} e^{-t^2/2} dt \right]$$

Então para n , temos $V_n = W_1 + W_2 + \dots + W_{n-1} + W_n = V_{n-1} + W_n$.

A função densidade da variável V_n é

$$f_{V_n}(v_n) = \int_{-\infty}^{\infty} f_{W_n}(v_n - v_{n-1}) f_{V_{n-1}}(v_{n-1}) dv_{n-1}, \quad 0 \leq v_n - v_{n-1} < \infty \\ \Rightarrow v_{n-1} < v_n \\ = \int_0^{v_n} f_{W_n}(v_n - v_{n-1}) f_{V_{n-1}}(v_{n-1}) dv_{n-1} = \\ = \int_0^{v_n} \frac{1}{2\sqrt{v_n - v_{n-1}}} \frac{1}{b_n - a_n} \frac{1}{\sqrt{2\pi}} \left[\int_{(a_n - \mu_n + \sqrt{v_n - v_{n-1}})/\sigma_n}^{(b_n - \mu_n + \sqrt{v_n - v_{n-1}})/\sigma_n} e^{-t^2/2} dt \right] dv_{n-1}$$

$$\begin{aligned}
& + \int_{(a_n - \mu_n - \sqrt{v_n - v_{n-1}})/\sigma_n}^{(b_n - \mu_n - \sqrt{v_n - v_{n-1}})/\sigma_n} e^{-t^2/2} dt \} \frac{1}{2^{\frac{3(n-1)}{2}}} \pi^{\frac{-(n-1)}{2}} \prod_{i=1}^{n-1} (b_i - a_i)^{-1} \\
& \times K_{(n-1)} dv_{n-1} = \\
& = \frac{1}{2^{\frac{3n}{2}}} \prod_{i=1}^n (b_i - a_i)^{-1} \pi^{-n/2} \int_0^{v_n} \frac{1}{\sqrt{v_n - v_{n-1}}} [\int_{(a_n - \mu_n + \sqrt{v_n - v_{n-1}})/\sigma_n}^{(b_n - \mu_n + \sqrt{v_n - v_{n-1}})/\sigma_n} e^{-t^2/2} dt \\
& + \int_{(a_n - \mu_n - \sqrt{v_n - v_{n-1}})/\sigma_n}^{(b_n - \mu_n - \sqrt{v_n - v_{n-1}})/\sigma_n} e^{-t^2/2} dt] K_{(n-1)} dv_{n-1} = \\
& = \frac{1}{2^{\frac{3n}{2}}} \prod_{i=1}^n (b_i - a_i)^{-1} \pi^{-n/2} K_{(n)} \tag{2.1.16}
\end{aligned}$$

onde

$$K_{(n)} = \int_0^{v_n} K^{(n)} (v_n - v_{n-1}) K_{(n-1)} dv_{n-1}$$

e

$$K^{(n)}(v_n - v_{n-1}) = \frac{1}{\sqrt{v_n - v_{n-1}}} \left[\int_{(a_n - \mu_n + \sqrt{v_n - v_{n-1}})/\sigma_n}^{(b_n - \mu_n + \sqrt{v_n - v_{n-1}})/\sigma_n} e^{-t^2/2} dt + \right.$$

$$\left. + \int_{(a_n - \mu_n - \sqrt{v_n - v_{n-1}})/\sigma_n}^{(b_n - \mu_n - \sqrt{v_n - v_{n-1}})/\sigma_n} e^{-t^2/2} dt \right]$$

Com isto, a fórmula de recorrência está provada.

Pensando em D_n (2.1.10) como $D_n = \sqrt{V_n}$, a densidade desta variável é obtida:

$$f_{D_n}(d_n) = \begin{cases} 2d_n f_{V_n}(d_n^2), & d_n \geq 0 \\ 0, & \text{caso contrário} \end{cases} \quad (2.1.17)$$

∴

$$f_{D_n}(d_n) = \frac{d_n}{2^{n-1}} (2\pi)^{-n/2} \prod_{i=1}^n (b_i - a_i)^{-1} K^{(n)} \quad (2.1.18)$$

onde

$$K^{(n)} = \begin{cases} K^{(1)}(d_1^2), & \text{para } n = 1 \\ 2 \int_0^{d_n} K^{(n)}(d_n^2 - d_{n-1}^2) K^{(n-1)}(d_{n-1}) dd_{n-1} & \text{para } n \geq 2 \end{cases}$$

e

$$K^{(i)}(d_i^2) = \frac{1}{d_i} \left[\int_{(a_i - \mu_i + d_i)/\sigma_i}^{(b_i - \mu_i + d_i)/\sigma_i} e^{-t^2/2} dt + \int_{(a_i - \mu_i - d_i)/\sigma_i}^{(b_i - \mu_i - d_i)/\sigma_i} e^{-t^2/2} dt \right],$$

para $d_n^2 \geq d_{n-1}^2 \geq \dots \geq d_1^2 > 0$.

O desenvolvimento anterior foi feito para calcular a distância de um ponto normal n-dimensional em relação a um ponto contido em uma das classes uniforme n-dimensional. Mas é de nosso interesse calcular a distância desse ponto, em relação a vários pontos uniformes n-dimensionais. Onde cada ponto uniforme está contido num hipercubo que representa uma classe. A seguir estendemos para o caso de multiclasse.

Seja a variável aleatória (x_1, x_2, \dots, x_n) com uma distribuição normal n-dimensional. Então a sua densidade $f(x_1, x_2, \dots, x_n)$ é da forma:

$$f_{\mathbf{x}}(x_1, x_2, \dots, x_n) = \frac{1}{(2\pi)^{n/2} \sqrt{|\mathbf{V}|}} \exp \left[-\frac{1}{2|\mathbf{V}|} \sum_{j,k=1}^n |\mathbf{v}_{jk}| (x_j - \mu_j)(x_k - \mu_k) \right],$$

(2.1.19)

$$-\infty < x_i < \infty,$$

onde $|\mathbf{V}| \neq 0$ é o determinante da matriz \mathbf{V} de momentos de segunda ordem σ_{jk} definidos por:

$$\mathbf{V} = \begin{vmatrix} \sigma_1^2 & \sigma_{12} & \cdots & \sigma_{1n} \\ \sigma_{21} & \sigma_2^2 & \cdots & \sigma_{2n} \\ \vdots & \ddots & \ddots & \vdots \\ \vdots & \ddots & \ddots & \vdots \\ \sigma_{n1} & \sigma_{n2} & \cdots & \sigma_n^2 \end{vmatrix}$$

e σ_{ik} é a covariância
de x_i e x_k .

e $|\mathbf{V}_{jk}|$ é o complemento algébrico do termo σ_{ik} no determinante da matriz \mathbf{V} .

No problema apresentado aqui, supomos que as variáveis aleatórias x_1, x_2, \dots, x_n são independentes, portanto, $\sigma_{ik} = 0$ ($i \neq k$), isto é, x_1, x_2, \dots, x_n são não correlacionadas e $|\mathbf{V}|$ toma o seu valor máximo $|\mathbf{V}| = \sigma_1^2 \sigma_2^2 \cdots \sigma_n^2$.

E a função densidade (2.1.19) fica como:

$$f_{\mathbf{x}}(x_1, x_2, \dots, x_n) = \frac{1}{(2\pi)^{n/2} \prod_{i=1}^n \sigma_i^2} e^{(-1/2) \sum_{i=1}^n \left(\frac{x_i - \mu_i}{\sigma_i}\right)^2} \quad (2.1.20)$$

para $-\infty < x_i < \infty$.

Seja $\mathbf{y}^j = (y_1^j, y_2^j, \dots, y_n^j)$, $j=1, \dots, k$, indicando as k classes; um vetor aleatório formado por variáveis aleatórias uniformes independentes com densidade:

$$f_{Y^j}(y_1^j, y_2^j, \dots, y_n^j) = \begin{cases} \frac{1}{\prod_{i=1}^n (b_i^j - a_i^j)} , & a_i^j \leq y_i^j \leq b_i^j \\ 0 & \text{caso contrário} \end{cases} \quad (2.1.21)$$

Para a primeira apresentação de um vetor \mathbf{x} temos então o vetor aleatório D^j definido como

$$D_n^j = \left(\sum_{m=1}^n (y_m^j - x_m)^2 \right)^{1/2} , \quad j=1, 2, \dots, k \quad (2.1.22)$$

E para a variável aleatória $D_n^j = \sqrt{V_n^j} = \sqrt{\sum_{i=1}^n w_i^j}$, a função densidade é

$$f_{D_n^j}(d_n^j) = \begin{cases} \frac{d_n^j}{2^{n-1} (2\pi)^{-n/2}} \prod_{i=1}^n (b_i^j - a_i^j)^{-1} \frac{j}{(n, d_n^j)} , & \text{para } (d_n^j)^2 \geq (d_{n-1}^j)^2 \geq \dots \geq (d_1^j)^2 > 0 \\ 0 & \text{caso contrário} \end{cases} \quad (2.1.23)$$

onde

$$K^j_{(n, d_n^j)} = \begin{cases} K^{(1)}(d_1^2), & \text{para } n = 1 \\ 2 \int_0^{(d_n^j)^2} K^{(n)}[(d_n^j)^2 - (d_{n-1}^j)^2] K^j_{(n-1, d_{n-1}^j)} d_{n-1}^j d d_{n-1}^j, & \text{para } n \geq 2 \end{cases}$$

e

$$\begin{aligned} K^{(i)}((d_i^j)^2) &= \frac{1}{d_n^j} \left[\int_{(a_i^j - \mu_i + d_i^j)/\sigma_i}^{(b_i^j - \mu_i + d_i^j)/\sigma_i} e^{-t^2/2} dt + \right. \\ &\quad \left. + \int_{(a_i^j - \mu_i - d_i^j)/\sigma_i}^{(b_i^j - \mu_i - d_i^j)/\sigma_i} e^{-t^2/2} dt \right]. \end{aligned}$$

Afinal lemos que é de nosso interesse encontrar a distribuição de β , uma variável aleatória que denominaremos $BETA^j$ e é definida como:

$$BETA^j = \frac{D_n^j}{\max_{1 \leq i \leq k} D_i^n}, \quad j = \text{um valor entre } 1 \text{ e } k \quad (2.1.24)$$

onde D_n^j é a variável aleatória cuja função densidade foi dada em (2.1.23).

Seja $(D_n^1, D_n^2, \dots, D_n^k)$ um vetor k-dimensional e seja $(d_n^1, d_n^2, \dots, d_n^k)$ valores assumidos por $(D_n^1, D_n^2, \dots, D_n^k)$. Denotamos $(d_n^{(1)}, d_n^{(2)}, \dots, d_n^{(k)})$ a estatística de ordem dos valores d_n^j que a variável aleatória $D_n^{(j)}$ pode assumir.

Então a variável aleatória BETA^j pode ser escrita como

$$\text{BETA}^j = \frac{D_n^{(j)}}{D_n^{(k)}}, \quad j=1, 2, \dots, k. \quad (2.1.25)$$

A função densidade conjunta da i-ésima e da j-ésima estatística de ordem $D_n^{(i)}$ e $D_n^{(j)}$ ($1 \leq i \leq j \leq k$) é

$$g_{ij}(d_n^{(i)}, d_n^{(j)}) = \frac{k!}{(i-1)! (j-i-1)! (k-j)!} [F_{D_n^i}(d_n^{(i)})]^{i-1} \times \\ \times [F_{D_n^j}(d_n^{(j)}) - F_{D_n^i}(d_n^{(i)})]^{j-i-1} [1 - F_{D_n^j}(d_n^{(j)})]^{k-j} \times \\ \times f_{D_n^i}(d_n^{(i)}) f_{D_n^j}(d_n^{(j)}), \text{ para } d_n^{(i)} < d_n^{(j)} \quad (2.1.26)$$

A função densidade da variável aleatória para $0 \leq d_n^{(k)} < \infty$ é:

$$\begin{aligned}
f_{\text{BETA}}^j(\text{beta}^j) &= \int_{-\infty}^{\infty} g_{ik}(\text{beta}^j d_n^{(k)}, d_n^{(k)}) |d_n^{(k)}| d d_n^{(k)} = \\
&= \int_0^{\infty} \frac{k!}{(i-1)! (k-i-1)!} [F_{D_n^j}(\text{beta}^j d_n^{(k)})]^{i-1} [F_{D_n^k}(d_n^{(k)}) \\
&\quad - F_{D_n^j}(\text{beta}^j d_n^{(k)})]^{k-i-1} \cdot f_{D_n^j}(\text{beta}^j d_n^{(k)}) \cdot \\
&\quad \cdot f_{D_n^k}(d_n^{(k)}) d_n^{(k)} d d_n^{(k)} \tag{2.1.27}
\end{aligned}$$

Fazendo as substituições com resultados obtidos em (2.1.23) temos:

$$\begin{aligned}
f_{\text{BETA}}^j(\text{beta}^j) &= \left\{ \int_0^{\infty} \frac{k!}{(i-1)! (k-i-1)!} \int_{-\infty}^{\text{beta}^j d_n^{(k)}} \frac{t_n^j}{2^{n-1}} (2\pi)^{-n/2} \times \right. \\
&\quad \times \prod_{i=1}^n (b_i^j - a_i^j)^{-1} K_j^{(n, t_n^j)} d t_n^j \left. \right]^{i-1} \times \\
&\quad \times \left[\int_{-\infty}^{d_n^{(k)}} \frac{t_n^k}{2^{n-1}} (2\pi)^{-n/2} \prod_{i=1}^n (b_i^k - a_i^k)^{-1} K_k^{(n, t_n^k)} d t_n^k \right] \\
&\tag{2.1.28}
\end{aligned}$$

$$\left\{
 \begin{aligned}
 & - \int_{-\infty}^{\text{beta}^j d_n^{(k)}} \frac{t_n^j}{2^{n-1}} (2\pi)^{-n/2} \prod_{i=1}^n (b_i^j - a_i^j)^{-1} K_{(n, t_n^j)}^{(k-i-1)} dt_n^j \times \\
 & \times \frac{\text{beta}^j d_n^{(k)}}{2^{n-1}} (2\pi)^{-n/2} \prod_{i=1}^n (b_i^j - a_i^j)^{-1} K_{(n, \text{beta}^j d_n^{(k)})}^j \times \\
 & \times \frac{d_n^{(k)}}{2^{n-1}} (2\pi)^{-n/2} \prod_{i=1}^n (b_i^k - a_i^k)^{-1} K_{(n, d_n^{(k)})}^k d_n^{(k)} dd_n^k , \\
 & (d_n^j)^2 \geq (d_{n-1}^j)^2 \geq \dots \geq (d_1^j)^2 > 0 \\
 & 0 , \quad \text{caso contrário}
 \end{aligned}
 \right.$$

onde

$$K_{(n, h_n^m)}^j = \int_0^{(h_n^m)^2} 2K_{(n)} [(h_n^m)^2 - (h_{n-1}^m)^2] K_{(n-1, h_{n-1}^m)}^{(h_{n-1}^m) d(h_{n-1}^m)}$$

e

$$K_{(n)}^{(i)} ((h_i^m)^2) = \frac{1}{h_i^m} [\int_{(a_i^m - \mu_i^m + h_i^m)/\sigma_i}^{(b_i^m - \mu_i^m + h_i^m)/\sigma_i} e^{-t^2/2} dt + \int_{(a_i^m - \mu_i^m - h_i^m)/\sigma_i}^{(b_i^m - \mu_i^m - h_i^m)/\sigma_i} e^{-t^2/2} dt]$$

que descreve a distribuição exata da variável aleatória β .

2.2. DISTRIBUIÇÃO DA ESTATÍSTICA DE ORDEM ASSINTÓTICA.

Para podermos tratar não somente o primeiro caso de classificação de um vetor X , mas também os seguintes para $\ell = 2, 3, \dots, N$, supomos agora que para um k grande, $D_{n\ell}^j$ tem aproximadamente uma distribuição normal, com média μ_ℓ e variância σ_ℓ .

Então a função densidade de Beta $_\ell^j$ é:

$$\begin{aligned}
 f_{\text{Beta}_\ell^j}(\text{beta}_\ell^j) &= \int_0^\infty \frac{k!}{(i-1)! (k-i-1)!} \left[\int_{-\infty}^{\text{beta}_\ell^j d_{n\ell}^{(k)}} \frac{1}{\sqrt{2\pi} \sigma_\ell} e^{-((t_{n\ell}^j - \mu_\ell)/\sigma_\ell)^2/2} dt_{n\ell}^j \right]^{i-1} \\
 &\times \left[\int_{-\infty}^{d_{n\ell}^{(k)}} \frac{1}{\sqrt{2\pi} \sigma_\ell} e^{-((t_{n\ell}^j - \mu_\ell)/\sigma_\ell)^2/2} dt_{n\ell}^j - \int_{-\infty}^{\text{beta}_\ell^j d_{n\ell}^{(k)}} \frac{1}{\sqrt{2\pi} \sigma_\ell} e^{-((t_{n\ell}^j - \mu_\ell)/\sigma_\ell)^2/2} dt_{n\ell}^j \right]^{k-i-1} \\
 &\times \frac{1}{\sqrt{2\pi} \sigma_\ell} e^{-((\text{beta}_\ell^j d_{n\ell}^{(k)} - \mu_\ell)/\sigma_\ell)^2/2} \frac{1}{\sqrt{2\pi} \sigma_\ell} e^{-((d_{n\ell}^{(k)} - \mu_\ell)/\sigma_\ell)^2/2} d_{n\ell}^{(k)} dd_{n\ell}^{(k)} = \\
 &= \frac{k!}{(i-1)! (k-i-1)!} \int_0^\infty \left[\frac{1}{\sqrt{2\pi}} \int_{-\infty}^{(\text{beta}_\ell^j d_{n\ell}^{(k)} - \mu_\ell)/\sigma_\ell} e^{-t^2/2} dt \right]^{i-1} e^{-t^2/2} dt \\
 &\times \left[\frac{1}{\sqrt{2\pi}} \int_{-\infty}^{(d_{n\ell}^{(k)} - \mu_\ell)/\sigma_\ell} e^{-t^2/2} dt - \frac{1}{\sqrt{2\pi}} \int_{-\infty}^{(\text{beta}_\ell^j d_{n\ell}^{(k)} - \mu_\ell)/\sigma_\ell} e^{-t^2/2} dt \right]^{k-i-1}
 \end{aligned}$$

$$\begin{aligned}
& \times \frac{1}{\sqrt{2\pi} \sigma_\ell} e^{-((\text{beta}_\ell^j d_{n\ell}^{(k)} - \mu_\ell)/\sigma_\ell)^2/2} \frac{1}{\sqrt{2\pi} \sigma_\ell} e^{-((d_{n\ell}^{(k)} - \mu_\ell)/\sigma_\ell)^2/2} d_{n\ell}^{(k)} dd_{n\ell}^{(k)} = \\
& = \frac{k!}{(i-1)! (k-i-1)!} \int_0^\infty \left[\frac{1}{\sqrt{2\pi}} \int_{(\mu_\ell - \text{beta}_\ell^j d_{n\ell}^{(k)})/\sigma_\ell}^\infty e^{-t^2/2} dt \right]^{i-1} \\
& \quad \times \left[\frac{1}{\sqrt{2\pi}} \int_{(\mu_\ell - d_{n\ell}^{(k)})/\sigma_\ell}^\infty e^{-t^2/2} dt - \frac{1}{\sqrt{2\pi}} \int_{(\mu_\ell - \text{beta}_\ell^j d_{n\ell}^{(k)})/\sigma_\ell}^\infty e^{-t^2/2} dt \right]^{k-i-1} \\
& \quad \times \frac{1}{\sqrt{2\pi} \sigma_\ell} e^{-((\text{beta}_\ell^j d_{n\ell}^{(k)} - \mu_\ell)/\sigma_\ell)^2/2} \frac{1}{\sqrt{2\pi} \sigma_\ell} e^{-((d_{n\ell}^{(k)} - \mu_\ell)/\sigma_\ell)^2/2} d_{n\ell}^{(k)} dd_{n\ell}^{(k)} \tag{2.2.1}
\end{aligned}$$

fazendo a mudança $\frac{1}{\sqrt{2}} t = s$, temos que

$$\begin{aligned}
& = \frac{k!}{(i-1)! (k-i-1)!} \int_0^\infty \left[\frac{1}{\sqrt{\pi}} \int_{(\mu_\ell - \text{beta}_\ell^j d_{n\ell}^{(k)})/(\sqrt{2} \sigma_\ell)}^{+\infty} e^{-s^2} ds \right]^{i-1} \\
& \quad \times \left[\frac{1}{\sqrt{\pi}} \int_{(\mu_\ell - d_{n\ell}^{(k)})/(\sqrt{2} \sigma_\ell)}^\infty e^{-s^2} ds - \frac{1}{\sqrt{\pi}} \int_{(\mu_\ell - \text{beta}_\ell^j d_{n\ell}^{(k)})/(\sqrt{2} \sigma_\ell)}^\infty e^{-s^2} ds \right]^{k-i-1}
\end{aligned}$$

$$\begin{aligned}
& \times \frac{1}{\sqrt{2\pi} \sigma_\ell} e^{-((\text{beta}_\ell^j d_{nl}^{(k)} - \mu_\ell)/\sigma_\ell)^2/2} \frac{1}{\sqrt{2\pi} \sigma_\ell} e^{-((d_{nl}^{(k)} - \mu_\ell)/\sigma_\ell)^2/2} d_{nl}^{(k)} dd_{nl}^{(k)} = \\
& = \frac{k!}{(i-1)! (k-i-1)!} \int_0^\infty [\frac{1}{2} \operatorname{erfc}(\frac{\mu_\ell - \text{beta}_\ell^j d_{nl}^{(k)}}{\sqrt{2} \sigma_\ell})]^{i-1} \times \\
& \quad \times [\frac{1}{2} \operatorname{erfc}(\frac{\mu_\ell - d_{nl}^{(k)}}{\sqrt{2} \sigma_\ell}) - \frac{1}{2} \operatorname{erfc}(\frac{\mu_\ell - \text{beta}_\ell^j d_{nl}^{(k)}}{\sqrt{2} \sigma_\ell})]^{k-i-1} \\
& \quad \times \frac{1}{\sqrt{2\pi} \sigma_\ell} e^{-((\text{beta}_\ell^j d_{nl}^{(k)} - \mu_\ell)/\sigma_\ell)^2/2} \frac{1}{\sqrt{2\pi} \sigma_\ell} e^{-((d_{nl}^{(k)} - \mu_\ell)/\sigma_\ell)^2/2} d_{nl}^{(k)} dd_{nl}^{(k)} = \\
& = \frac{k!}{(i-1)! (k-i-1)!} \int_0^\infty [\frac{1}{2} - \frac{1}{\sqrt{\pi}} \operatorname{Erf}(\frac{\mu_\ell - \text{beta}_\ell^j d_{nl}^{(k)}}{\sqrt{2} \sigma_\ell})]^{i-1} \\
& \quad \times [\frac{1}{2} - \frac{1}{\sqrt{\pi}} \operatorname{Erf}(\frac{\mu_\ell - d_{nl}^{(k)}}{\sqrt{2} \sigma_\ell}) - \frac{1}{2} + \frac{1}{\sqrt{\pi}} \operatorname{Erf}(\frac{\mu_\ell - \text{beta}_\ell^j d_{nl}^{(k)}}{\sqrt{2} \sigma_\ell})]^{k-i-1} \times \\
& \quad \times \frac{1}{\sqrt{2\pi} \sigma_\ell} e^{-((\text{beta}_\ell^j d_{nl}^{(k)} - \mu_\ell)/\sigma_\ell)^2/2} \frac{1}{\sqrt{2\pi} \sigma_\ell} e^{-((d_{nl}^{(k)} - \mu_\ell)/\sigma_\ell)^2/2} d_{nl}^{(k)} dd_{nl}^{(k)} .
\end{aligned}$$

Portanto, a função densidade de BETA_ℓ^j pode ser escrita como:

$$\begin{aligned}
 f_{\text{BETA}_\ell^j(\text{beta}_\ell^j)} = & \left[\frac{k!}{(i-1)!(k-i-1)!\sigma_\ell^2 2\pi} \int_0^\infty \left[\frac{1}{2} + \frac{1}{\sqrt{\pi}} \left(\frac{\text{beta}_\ell^j d_{nl}^{(k)} - \mu_\ell}{\sqrt{2}\sigma_\ell} \right) \times \right. \right. \\
 & \times {}_1F_1 \left(\frac{1}{2}; \frac{3}{2}, - \left(\frac{\mu_\ell - \text{beta}_\ell^j d_{nl}^{(k)}}{\sqrt{2}\sigma_\ell} \right)^2 \right]^{i-1} \times \\
 & \times \left[\frac{1}{\sqrt{\pi}} \left(\frac{d_{nl}^{(k)} - \mu_\ell}{\sqrt{2}\sigma_\ell} \right) {}_1F_1 \left(\frac{1}{2}; \frac{3}{2}, - \left(\frac{\mu_\ell - d_{nl}^{(k)}}{\sqrt{2}\sigma_\ell} \right)^2 \right) + \right. \\
 & + \left. \frac{1}{\sqrt{\pi}} \left(\frac{\mu_\ell - \text{beta}_\ell^j d_{nl}^{(k)}}{\sqrt{2}\sigma_\ell} \right) {}_1F_1 \left(\frac{1}{2}; \frac{3}{2}, - \left(\frac{\mu_\ell - \text{beta}_\ell^j d_{nl}^{(k)}}{\sqrt{2}\sigma_\ell} \right)^2 \right]^{k-i-1} \right. \\
 & \left. {}_1F_1 \left(c; c, - \left(\frac{\text{beta}_\ell^j d_{nl}^{(k)} - \mu_\ell}{\sigma_\ell \sqrt{2}} \right)^2 \right) {}_1F_1 \left(c; c, - \left(\frac{d_{nl}^{(k)} - \mu_\ell}{\sqrt{2}\sigma_\ell} \right)^2 \right) \right. \\
 & \left. \times d_{nl}^{(k)} dd_{nl}^{(k)} \right] \quad (2.2.3)
 \end{aligned}$$

para $c \neq 0$ e $0 \leq d_{nl}^{(k)} < \infty$

0 , caso contrário.

onde ${}_1F_1$ é a função hipergeométrica definida em Luke (1969) como:

$${}_1F_1(a; c, z) = \sum_{k=0}^{\infty} \frac{(a)_k z^k}{(c)_k k!} \quad (2.2.4)$$

a e c quaisquer valores
exceto $c = 0$.

$$\text{e } (a)_k = a(a+1) \dots (a+k-1),$$

$$(a)_0 = 1,$$

$$e^z = {}_1F_1(a; a, z).$$

Erf e Erfc são respectivamente função erro e função erro complementar definidas como:

$$\text{erf}(z) = \int_0^z e^{-t^2} dt = \frac{\sqrt{\pi}}{2} \text{ erf}(z) \quad (2.2.5)$$

$$\text{erfc}(z) = \int_z^{\infty} e^{-t^2} dt = \frac{\sqrt{\pi}}{2} \text{ erfc}(z) \quad (2.2.6)$$

$$\text{erfc}(z) + \text{erf}(z) = 1.$$

A função erro pode ser escrita como uma função hipergeométrica do seguinte modo:

$$\text{Erf}(z) = z \Gamma_1^F \left(\frac{1}{2}; \frac{3}{2}, -z^2 \right) \quad (2.2.7)$$

Chegamos a uma distribuição exata da variável aleatória β na subseção 2.1. E como vemos por (2.1.28), ela envolve fórmulas recursivas, que mesmo quando conhecemos os fatores e os formos substituindo na fórmula, ainda teremos resultados de formas complexas.

A fim de se evitar essas fórmulas recursivas, usamos o argumento de que a variável distância tem distribuição normal assinoticamente e obtivemos o resultado (2.2.3). Mas, ainda este caminho simplificado nos levou a utilização de recursos como as funções especiais e o resultado permaneceu difícil de manusear e segundo Rathie e Rohrer (1978), até seu desenvolvimento numérico é de extrema complexidade.

Pra contornar o problema da intratabilidade das distribuições resultantes do modelo (padrão normal, classe uniforme) assumido em (2.1.28), propusemos um enfoque paramétrico; trata-se de simular a variável β e comparar a distribuição observada com uma distribuição familiar encontrando as condições necessárias para um bom ajuste.

CAPÍTULO III

DESENVOLVIMENTO POR SIMULAÇÃO

3.1. PROCEDIMENTO DA SIMULAÇÃO.

A simulação envolveu as seguintes etapas:

1. Partimos de um espaço \mathbb{R}^n ($n \geq 1$), sobre ele uma normal n-variado com parâmetros μ e Σ identificada como a dos padrões. Esse espaço contendo k ($k \geq 1$) classes C_k inicialmente uniformes com os parâmetros $((a_1^k, b_1^k), \dots, (a_n^k, b_n^k))$.
2. Para iniciar a simulação, em cada classe C_j , escolhemos aleatoriamente segundo a distribuição $U(a_j, b_j)$ um ponto $y_j^1 = (y_1^{j1}, y_2^{j1}, \dots, y_n^{j1})$. Denominaremos este ponto de "referente" R_j^1 da classe C_j .
3. Geramos aleatoriamente $\mathbf{x}_m = (x_{m1}, x_{m2}, \dots, x_{mn})$, um vetor com distribuição normal (μ, Σ) que envolve os seguintes passos:
 - 3.1. Queremos um vetor de dimensão n , mas inicialmente geramos (z_1, z_2) um par de números de $(0,1)^2$ com distribuição uniforme $U(0,1)$. Fazemos:

$$y_j = 2z_j - 1, \quad j = 1, 2 \quad (3.1.1)$$

$$s = y_1^2 + y_2^2 \quad (3.1.2)$$

$$\text{Para } s \leq 1, z_{m\ell} = y_j - \sqrt{\frac{-2 \ln s}{s}}, \ell = \ell + j, j = 1, 2, \ell = 0, \dots, [\frac{n}{2}] \quad (3.1.3)$$

Isto é, geramos dois números normalmente distribuídos e repetimos esse processo de geração até obtermos no total n números, ou seja $\ell = [\frac{n}{2}]$. Juntamos todos esses números no vetor $\mathbf{z}_m = (z_{m1}, z_{m2}, \dots, z_{mn})$ que deste modo tem distribuição $N(\mathbf{0}, \mathbf{I})$. Fazendo a nossa matriz de covariância \mathbf{I} fica fácil gerar amostras normalmente distribuídas, porque as variáveis são independentes e identicamente distribuídas com variação 1.

3.2. Para obtermos \mathbf{x}_m , um vetor com distribuição normal com média μ e matriz de covariância Σ , usamos a seguinte transformação (ver por exemplo Fukunaga (1972))

$$\mathbf{x}_m = \mathbf{Q}\mathbf{L}^{1/2}\mathbf{z}_m + \mu, \text{ onde } \mathbf{Q} = \text{matriz de autovetores de } \Sigma \quad (3.1.4)$$

\mathbf{L} = matriz diagonal de autovalores λ_m de Σ .

4. Nesta etapa, verificamos se o ponto gerado pertence a alguma das classes C_j . Se o ponto não pertencer a nenhuma classe, voltamos a etapa 3 e procedemos até localizarmos \mathbf{x}_m , um ponto que pertence a alguma das k classes.

5. Calculamos as distâncias do ponto gerado com relação a todas as k classes, ou seja, as distâncias do vetor \mathbf{x}_i do referente $\mathbf{R}_j^m = (y_1^{jm}, \dots, y_n^{jm})$, $m \geq 1$

$$D_m^j = \left(\sum_{i=1}^n (y_i^{jm} - x_{mi})^2 \right)^{1/2}, \quad j=1, 2, \dots, k \quad (3.1.5)$$

Diremos que $\mathbf{x}_m \in C_j$ se a distância euclidiana entre \mathbf{x}_m e \mathbf{R}_j^m for a mínima entre todas as distâncias de \mathbf{x}_m e \mathbf{R}_j^m , $j=1, \dots, k$. E verificamos sobre o acertamento, se realmente o ponto pertence a classe que resultou na menor distância do referente com o ponto. Senão, $j = j'$, onde j é índice da classe correta.

6. Como o referente tem que ser aprendido, efetuamos uma correção sobre ele a fim de que numa próxima etapa produza a menor distância do ponto aleatório, se realmente \mathbf{x}_m pertence a esta classe C_j . Então

$$\mathbf{R}_j^{m+1} = \beta_m \mathbf{x}_m + (1 - \beta_m) \mathbf{R}_j^m, \quad (3.1.6)$$

onde

$$\beta_m = \frac{D_m^j}{\max_{1 \leq j \leq k} D_m^j} \quad (3.1.7)$$

7. Voltamos a etapa 3 e repetimos esse processo até $m = N$, o tamanho da nossa amostra. Portanto obtemos o vetor amostral $(\beta_1, \beta_2, \dots, \beta_N)$.

8. A fim de testarmos o ajuste dos valores obtidos com o modelo Beta (p, q) proposto, utilizamos o teste χ^2 .

8.1. Fazemos o histograma da variável β_i , dividindo em r intervalos. Calculamos a frequência absoluta $f_a(\ell)$ das variáveis β_i em cada intervalo $(L(\ell), S(\ell)]$, $\ell = 1, \dots, r$.

$$f_a(\ell) = \sum_{i=1}^N \chi_{A(\ell)}(\beta_i), \quad (3.1.8)$$

onde $A(\ell) = [L(\ell), S(\ell)]$, (obviamente $A(\ell) \subset (0, 1) \forall \ell$)

$$\chi_{A(\ell)}(\beta_i) = \begin{cases} 1 & \text{se } \beta_i \in A(\ell) \\ 0 & \text{se } \beta_i \notin A(\ell). \end{cases}$$

8.2. Calculamos a frequência estimada $f_e(\ell)$, segundo a distribuição Beta (p, q) que propusemos.

8.2.1. Estimamos os parâmetros p e q da distribuição Beta, pelo método de máxima verossimilhança que descreveremos na subseção 3.2.

8.2.2. Calculamos a probabilidade

$$\hat{p}(\ell) = \int_{L(\ell)}^{S(\ell)} \frac{\Gamma(\hat{p})\Gamma(\hat{q})}{\Gamma(\hat{p} + \hat{q})} t^{\hat{p}-1}(1-t)^{\hat{q}-1} dt \quad (3.1.9)$$

Onde a integral

$$I(\ell) = \int_{L(\ell)}^{S(\ell)} t^{\hat{p}-1}(1-t)^{\hat{q}-1} dt \quad (3.1.10)$$

é resolvida usando o método de Simpson com 60 subintervalos. Como a função tem derivadas contínuas de quarta ordem, segundo Bakhavalov (1975), a regra de Simpson converge para o verdadeiro valor da integral, no pior caso com velocidade k^{-4} , onde k é o número de subintervalos utilizados.

8.2.3. A frequência estimada é obtida por:

$$f_e(\ell) = N \hat{p}(\ell) = N \times \frac{I(\ell)}{\sum_{i=1}^r \int_{L(i)}^{S(i)} t^{\hat{p}-1}(1-t)^{\hat{q}-1} dt},$$

$$\ell = 1, \dots, r \quad (3.1.11)$$

8.3. Estimados os parâmetros p e q através das amostras, queremos verificar se a característica β_ℓ tem uma "distribuição $\beta(\hat{p}, \hat{q})$ ".

Então finalmente aplicamos o teste χ^2 ,

$$\chi^2 = \sum_{l=1}^r \frac{(f_a(l) - f_e(l))^2}{f_e(l)} \quad (3.1.12)$$

O modelo Beta(p, q) será considerado satisfatório se houver evidência de ajuste, ou seja, se $\chi^2_{r-3} < \chi^2_{\alpha, r-3}$ para α pré-fixado.

9. Voltamos a etapa 8.2.2 para outros valores dos parâmetros, a fim de verificar se o método que utilizamos para estimação dos parâmetros deu bom resultado. Então, fazemos \hat{p} e \hat{q} variarem até 2% em torno de seus valores. Tomamos

$$\hat{p}' = \hat{p} \pm 0,005 s \hat{p} \quad (3.1.13)$$

$$, s = 1, \dots, 4$$

$$\hat{q}' = \hat{q} \pm 0,005 s \hat{q} \quad (3.1.14)$$

3.2. ESTIMAÇÃO DOS PARÂMETROS DE UMA BETA (p, q).

Para testarmos o ajuste dos valores obtidos com o modelo Beta (p, q), temos que estimar os parâmetros desta distribuição.

Seja β uma variável aleatória, cuja distribuição é Beta com parâmetros p e q . Sua densidade é definida como:

$$f_{\beta}(b) = \begin{cases} \frac{b^{p-1}(1-b)^{q-1}}{B(p,q)} & , 0 < b < 1 \\ 0 & , \text{caso contrário} \end{cases} \quad (3.2.1)$$

Usando o fato que

$$B(p,q) = \frac{\Gamma(p)\Gamma(q)}{\Gamma(p+q)} , \quad (3.2.2)$$

podemos escrever essa função densidade como

$$f_{\beta}(b) = \begin{cases} \frac{\Gamma(p+q)}{\Gamma(p)\Gamma(q)} b^{p-1}(1-b)^{q-1} & , 0 < b < 1 \\ 0 & , \text{caso contrário} \end{cases} \quad (3.2.3)$$

onde

$$\Gamma(s) = \int_0^{\infty} x^{s-1} e^{-x} dx , \quad s > 0 \quad (3.2.4)$$

A nossa hipótese não especificou os valores dos parâmetros p e q. E.tão usamos o seguinte método desenvolvido por Beckman e Tietjen (1978) para estimar o valor desses parâmetros.

Dada uma amostra $\beta_1, \beta_2, \dots, \beta_n$ de variáveis aleatórias

independentes de uma distribuição $B(p, q)$, as equações de máxima verossimilhança para os estimadores \hat{p} e \hat{q} são os seguintes:

$$\psi(\hat{p}) - \psi(\hat{p} + \hat{q}) = \ln G_1 \quad (3.2.5)$$

$$\psi(\hat{q}) - \psi(\hat{p} + \hat{q}) = \ln G_2$$

onde

$$G_1 = \prod_{i=1}^n b_i^{1/n} \quad \text{e} \quad G_2 = \prod_{i=1}^n (1-b_i)^{1/n}$$

$$\text{e } \psi(z) = \frac{d \ln \Gamma(z)}{dz} : \text{ função Psi.}$$

Resolvemos a primeira equação em (3.2.5) para $\psi(\hat{p})$

$$\psi(\hat{p}) = \ln G_1 + \psi(\hat{p} + \hat{q}) \quad (3.2.6)$$

Da segunda equação em (3.2.5)

$$\psi(\hat{p} + \hat{q}) = \psi(\hat{q}) - \ln G_2 \quad (3.2.7)$$

Substituindo essa expressão em (3.2.6), obtemos

$$\psi(\hat{p}) = \ln G_1 - \ln G_2 + \psi(\hat{q}), \text{ então} \quad -$$

$$\hat{p} = \psi^{-1}(\ln G_1 - \ln G_2 + \psi(\hat{q})) \quad (3.2.8)$$

Substituímos esse valor de \hat{p} na segunda equação de (3.2.5), para obtermos uma equação com uma única variável:

$$\psi(\hat{q}) - \psi\{\psi^{-1}(\ln G_1 - \ln G_2 + \psi(\hat{q})) + \hat{q}\} - \ln G_2 = 0 \quad (3.2.9)$$

Para resolver a equação (3.2.9) para \hat{q} , usamos um método baseado no método da secante para encontrar a raiz. Este método requer que especifiquemos um intervalo (A, B) dentro da qual a raiz está localizada.

A solução requer que estejamos capacitados para estimar ambos $\psi(z)$ e $\psi^{-1}(z)$.

Estimar $\psi^{-1}(z)$ é equivalente a encontrar a raiz c da equação $\psi(c) - z = 0$, e isso é realizada pela técnica de resolver raízes discutida acima.

Para calcular aproximadamente $\psi(z)$, usamos a seguinte aproximação

$$\psi(z) \sim \ln z - \frac{1}{2z} - \frac{1}{12z^2} + \frac{1}{120z^4} - \frac{1}{256z^6}, \text{ para } z \geq 3 \quad (3.2.10)$$

e

$$\psi(z) = \psi(z+1) - \frac{1}{z}, \text{ para } z < 3. \quad (3.2.11)$$

Essas aproximações segundo Beckman e Tietjen (1978) dão uma precisão de 6 casas decimais.

Poderíamos ter estimado esses parâmetros por outros métodos mais simples, como por exemplo usando método dos momentos. Porém, nesse caso não poderíamos garantir a validade do teste χ^2 . Pelo contrário, se os parâmetros p e q são estimados pelo método de máxima verossimilhança, a distribuição da estatística χ^2 definida em etapa 8.3 da subseção 3.1, quando $n \rightarrow \infty$ tende para a distribuição χ^2 com $k-3$ graus de liberdade (Fisz (1963)).

CAPÍTULO IV

RESULTADOS

Em seguida apresentamos os resultados obtidos e como prosseguimos para encontrar as condições sob as quais a variável β_i tem distribuição $B(p,q)$.

Quando trabalhamos no espaço com dimensão $n=2$ e tomamos o número de classes $k=5$, obtivemos o seguinte:

Características das classes	Acertamento	Parâmetros	χ^2 Observado	χ^2 para 5%	Graus de Liberdade
classes pequenas e separadas.	Certos = 2000 Errados = 0	$\hat{p} = 3.26$ $\hat{q} = 35.37$	91.207	32.671	21
aumentando as classes, ainda sem intersecção	Certos = 1982 Errados = 18	$\hat{p} = 3.12$ $\hat{q} = 18.37$	53.083	31.410	20
aumentando mais as classes com alguns pontos comuns	Certos = 1848 Errados = 152	$\hat{p} = 2.81$ $\hat{q} = 10.83$	47.891	33.924	22
aumentando mais as classes com vários pontos comuns	Certos = 1610 Errados = 390	$\hat{p} = 2.68$ $\hat{q} = 8.40$	40.285	33.924	22
grandes classes intercetando uma na outra.	Certos = 1331 Errados = 669	$\hat{p} = 2.16$ $\hat{q} = 5.43$	13.407	28.869	18

TABELA 4.1.

Para $n = 3$, $k = 5$

Características das classes	Acertamento	Parâmetros	χ^2 Observado	χ^2 para 5%	Graus de Liberdade
classes pequenas e separadas	Certos = 2000 Errado = 0	$\hat{p} = 5.42$ $\hat{q} = 40.89$	38.490	28.869	18
aumentando um pouco, ainda, sem intersecção	Certos = 1998 Errados = 2	$\hat{p} = 4.39$ $\hat{q} = 22.67$	38.620	27.587	17
aumentando mais as classes com alguns pontos comuns	Certos = 1943 Errados = 57	$\hat{p} = 3.97$ $\hat{q} = 17.00$	27.219	26.296	16
aumentando mais as classes com vários pontos comuns	Certos = 1786 Errados = 214	$\hat{p} = 3.59$ $\hat{q} = 13.34$	43.860	26.296	16
várias classes intercetando uma na outra	Certos = 15.77 Errados = 423	$\hat{p} = 2.06$ $\hat{q} = 3.98$	214.017	30.144	19

TABELA 4.2.

Para $n = 5$, $k = 5$

Características das classes	Acertamento	Parâmetros	χ^2 Observado	χ^2 para 5%	Graus de Liberdade
classes pequenas e separadas	Certos = 1991 Errados = 9	$\hat{p} = 9.10$ $\hat{q} = 42.02$	23.512	27.587	17
classes pequenas com alguns pontos em comum	Certos = 1916 Errados = 84	$\hat{p} = 7.36$ $\hat{q} = 28.20$	21.967	27.587	17

aumentando mais as classes com vários pontos em comum	Certos = 1792 Errados = 208	$\hat{p} = 6.72$ $\hat{q} = 22.78$	31.010	27.587	17
aumentando mais as classes	Certos = 1397 Errados = 603	$\hat{p} = 5.05$ $\hat{q} = 14.57$	67.409	26.296	16
classes grandes interceptando uma na outra	Certos = 902 Errados = 1098	$\hat{p} = 4.92$ $\hat{q} = 12.16$	111.941	23.685	14

TABELA 4.3.

Os resultados acima pela tabela (4.1) parecia nos permitir conjeturar o seguinte: a medida que fomos aumentando o tamanho das classes, obtivemos valores menores de χ^2 . Até chegarmos a não ter nenhuma evidência em rejeitar que a nossa variável β_i tem distribuição Beta com parâmetros $\hat{p} = 2.16$ e $\hat{q} = 5.43$, quando tomamos as nossas 5 classes bem grandes, interceptando uma na outra. Já a análise das tabelas 4.2 e 4.3 nos levaria a uma conclusão exatamente oposta a anterior, pois obtivemos valores de χ^2 pequenos quando tomamos as 5 classes pequenas e separadas.

Então tivemos que deixar esses resultados de lado e partir em outras buscas, pois eles não nos levam a uma conjectura coerente.

Visto que a distribuição multivariada em k dimensões tem uma densidade constante sobre elipsóides da forma

$$(x - \mu)' \Sigma^{-1} (x - \mu) = c^2 , \quad (4.1)$$

c^2 sendo uma constante. Então concentrarmos as nossas classes nessa elipsóide.

Iniciamos com pontos normais bivariados que formam uma região de concentração de forma elíptica com a direção dos eixos das por autovetores da matriz de covariância.

Obtivemos resultados semelhantes para diferentes vetores média e matrizes de covariância. A fim de ilustrarmos as conclusões obtidas, tomamos como exemplo uma das matrizes por nós trabalhada.

Temos $n = 2$, o vetor média $\mu = (-10, 80)$ e a matriz de co

$$\text{variância } \Sigma = \begin{pmatrix} 2412.77 & -1780.40 \\ -1780.40 & 2681.17 \end{pmatrix}$$

Tomamos $k = 10$ classes (retângulos) que são:

CLASSE	EIXO 1	EIXO 2
1	(-50, -30)	(120, 140)
2	(-80, -60)	(90, 115)
3	(-30, -10)	(90, 115)
4	(-60, -30)	(55, 75)
5	(-52, -27)	(22, 42)
6	(-20, 20)	(50, 75)
7	(-10, 25)	(24, 42)
8	(35, 60)	(50, 75)
9	(8, 30)	(80, 102)
10	(0, 30)	(110, 130)

Com os valores estimados $\hat{p} = 2.88$ e $\hat{q} = 23.31$, obtivemos a seguinte tabela:

INTERVALOS	FREQUÊNCIA ABSOLUTA	FREQUÊNCIA ESTIMADA
.0000 — .0162	33	20.7
.0162 — .0323	89	93.6
.0323 — .0485	140	166.0
.0485 — .0647	189	214.0
.0647 — .0808	231	234.0
.0808 — .0970	262	231.0
.0970 — .1132	226	212.0
.1132 — .1294	192	185.0
.1294 — .1455	154	155.0
.1455 — .1617	156	125.0
.1617 — .1779	90	98.4
.1779 — .1940	72	75.3
.1940 — .2102	39	56.4
.2102 — .2264	30	41.3
.2264 — .2425	25	29.6
.2425 — .2587	29	20.9
.2587 — .2749	15	14.4
.2749 — .2910	8	9.8
.2910 — .3072	7	6.6
.3072 — .3234	6	4.3
.3234 — .3396	1	2.8

.3896 — .3557	2	1.8
.3557 — .3719	0	1.1
.3719 — .3881	1	.7
.3881 — .4042	4	.4

TABELA 4.4.

E o χ^2 observado foi 42.293 com 17 graus de liberdade

$$\chi^2_{5\%} = 27.587$$

Graficamente, as 10 regiões estão localizadas da seguinte forma:

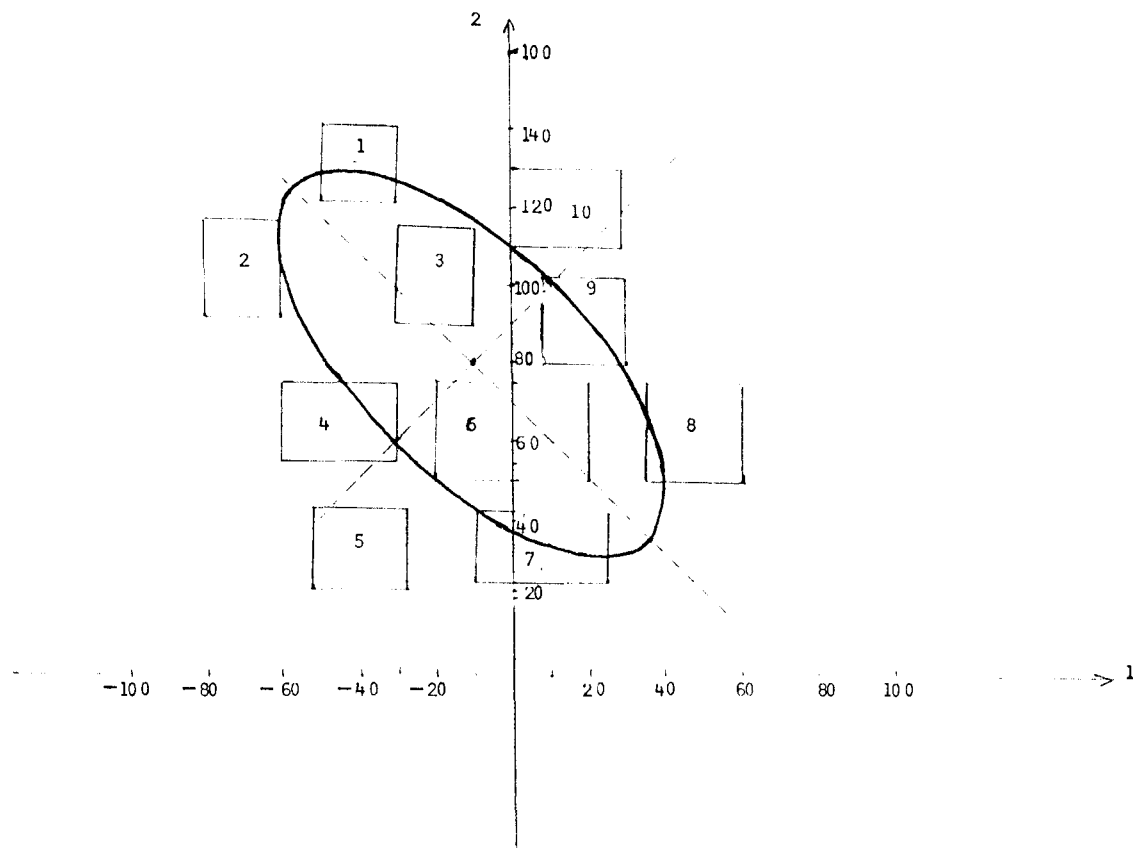


Figura 4.1

Quando aumentamos as nossas regiões, ou seja, a elipse onde estão localizados os pontos normais bivariados fica mais coberta, da forma a seguir:

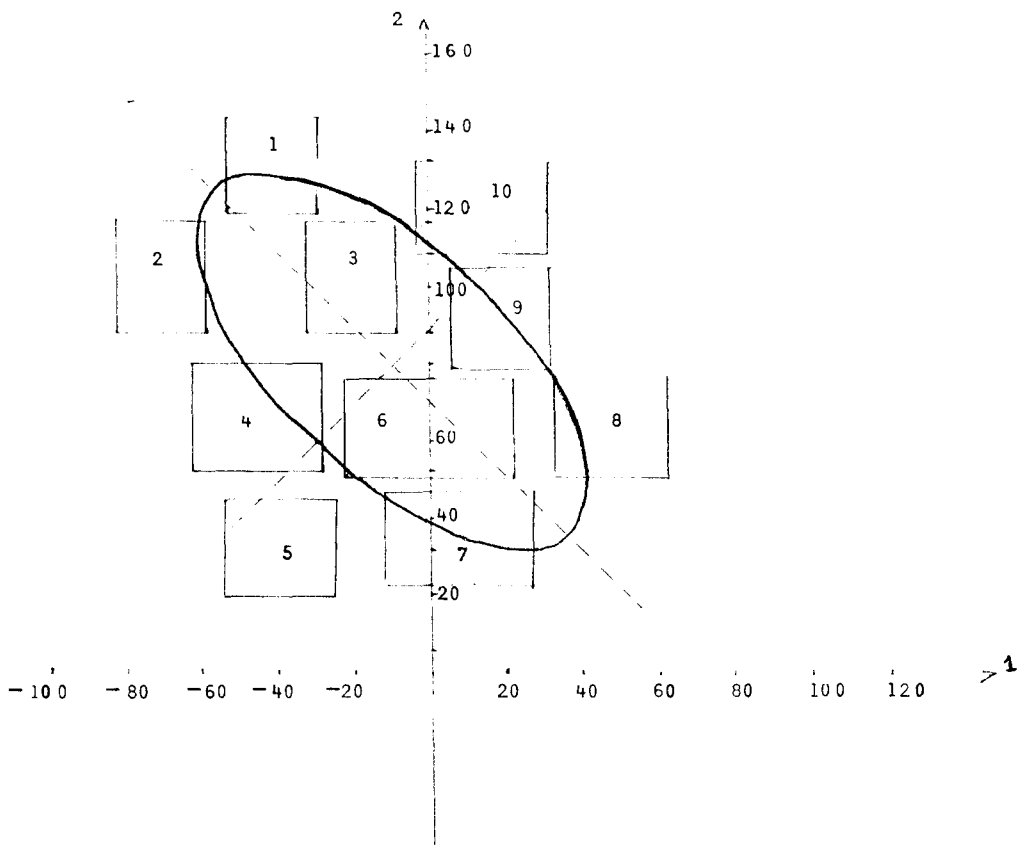


Figura 4.2

A situação melhora e as classes são:

CLASSE	EIXO 1	EIXO 2
1	(-52, -28)	(118, 142)
2	(-82, -58)	(88, 117)
3	(-32, -8)	(88, 117)
4	(-62, -28)	(53, 77)
5	(-54, -25)	(20, 44)
6	(-22, 22)	(48, 77)
7	(-12, 27)	(22, 44)
8	(33, 62)	(48, 77)
9	(6, 32)	(78, 104)
10	(-2, 32)	(108, 132).

Os valores estimados foram $\hat{p} = 3.01$ e $\hat{q} = 20.88$ e obtivemos as seguintes frequências

INTERVALO	FREQUÊNCIA ABSOLUTA	FREQUÊNCIA ESTIMADA
.0000 — .0184	28	16.9
.0184 — .0369	82	84.3
.0369 — .0553	133	158.0
.0553 — .0738	183	211.0
.0738 — .0922	221	235.0
.0922 — .1106	253	235.0
.1106 — .1291	235	218.0
.1291 — .1475	211	191.0

.1475 → .1660	180	160.0
.1660 → .1844	137	129.0
.1844 → .2028	97	101.0
.2028 → .2213	76	76.5
.2213 → .2397	42	56.5
.2397 → .2581	48	40.8
.2581 → .2766	18	28.8
.2766 → .2950	17	19.8
.2950 → .3135	14	13.4
.3135 → .3319	9	8.8
.3319 → .3503	8	5.7
.3503 → .3688	1	3.6
.3688 → .3872	4	2.2
.3872 → .4057	0	1.3
.4057 → .4241	1	.8
.4241 → .4425	1	.5
.4425 → .4610	1	.3

TABELA 4.5.

E χ^2 observado foi 33.77 com 17 graus de liberdade

$$\chi^2_{5\%} = 27.587.$$

E finalmente tomamos as nossas regiões independentes cobrindo praticamente toda a elipse, como podemos ver no gráfico seguinte:

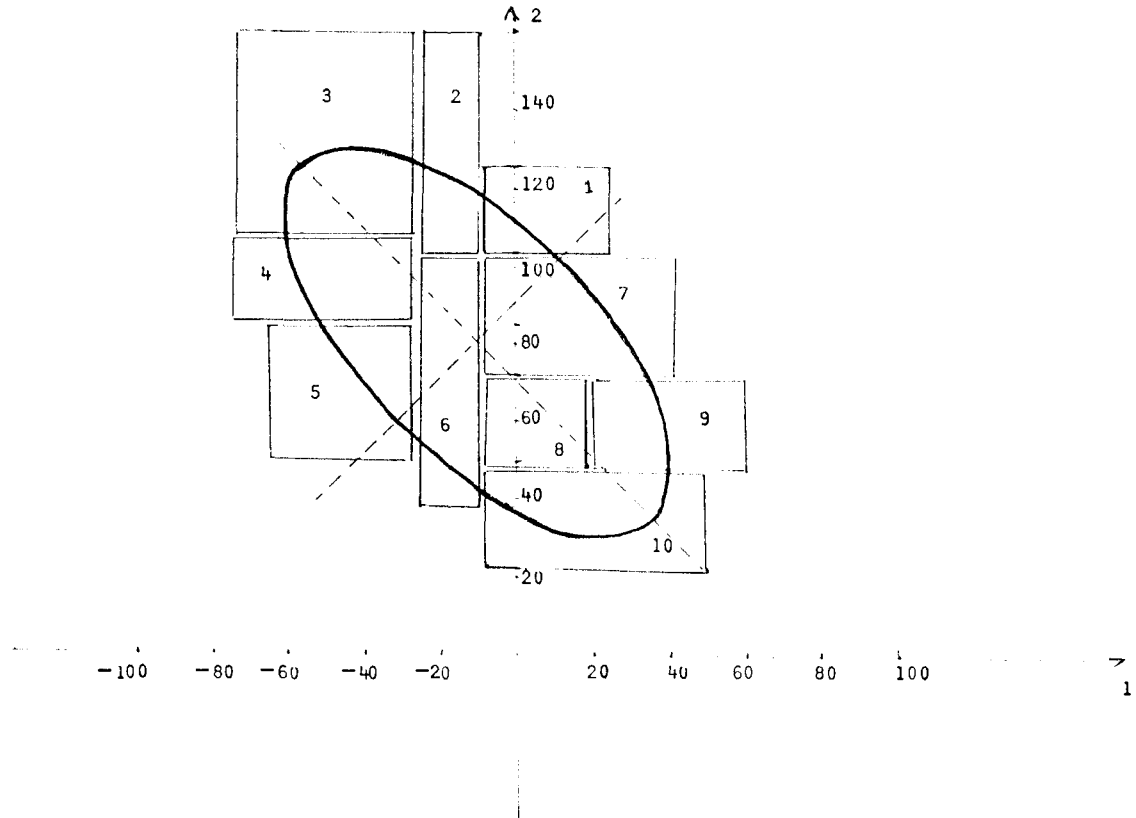


Figura 4.3

As 10 classes são:

CLASS	EIXO 1	EIXO 2
1	(-8, 25)	(104, 126)
2	(-25, -9)	(104, 160)
3	(-72, -26)	(108, 160)
4	(-72, -26)	(86, 107)
5	(-65, -26)	(50, 85)

6	(-25, -9)	(38, 103)
7	(-8, 42)	(71, 103)
8	(-8, 18)	(48, 70)
9	(19, 60)	(48, 70)
10	(-8, 50)	(22, 47)

Obtivemos os seguintes resultados:

$$\hat{p} = 2.55 , \quad \hat{q} = 12.64$$

e χ^2 observado = 27.46 com 18 graus de liberdade.

Obtivemos as seguintes frequências:

INTERVALOS	FREQUÊNCIA ABSOLUTA	FREQUÊNCIA ESTIMADA
.0000 — .0230	30	24.5
.0230 — .0459	87	90.6
.0459 — .0689	128	150.0
.0689 — .0919	176	189.0
.0919 — .1148	216	207.0
.1148 — .1378	212	209.0
.1378 — .1608	204	199.0
.1608 — .1837	193	180.0
.1837 — .2067	184	158.0
.2067 — .2297	118	134.0
.2297 — .2527	120	110.0

.2527 → .2726	85	88.9
.2726 → .2986	67	70.0
.2986 → .3216	40	53.8
.3216 → .3445	29	40.6
.3445 → .3675	36	29.9
.3675 → .3905	19	21.6
.3905 → .4134	21	15.3
.4134 → .4364	15	10.3
.4364 → .4594	8	7.1
.4594 → .4823	3	4.7
.4823 → .5053	6	3.0
.5053 → .5283	2	1.9
.5283 → .5512	0	1.1
.5512 → .5742	1	.7

TABELA 4.6.

Não temos nenhuma evidência em rejeitar a hipótese que as variáveis β_i 's tem distribuição $B(p,q)$ ao nível de confiança de 5%. Pois a esse nível de confiança e com 18 graus de liberdade só rejeitaremos a hipótese para valores do qui-quadrado maiores que 28.869.

Este raciocínio, isto é, deixar cobrir as classes o espaço mais provável criado pela Σ da multinormal, foi seguido para outros valores de médias e matrizes de covariância e também para diferentes dimensões n e obtivemos resultados semelhantes.

Como já citamos, na etapa 11 da nossa simulação, calculamos o χ^2 para diferentes valores de p e q . Variamos p e q em torno de até 2% de \hat{p} e \hat{q} , a fim de verificar o comportamento das estimativas obtidas pelo método de máxima verossimilhança.

Vejamos em duas situações diferentes.

Primeiro, quando tivemos uma situação em que as classes não cobriam a elipsóide que é região de concentração dos pontos padrões, as estimativas obtidas pela máxima verossimilhança não justificavam a explicação de β por uma Beta. A estimativa do parâmetro q apresentou um valor demasiadamente grande. Fomos variando os valores dos parâmetros p e q e notamos que quando diminuímos ambos p e q , o qui-quadrado também decresceu até certo valor e voltando a crescer novamente. E quando houve aumento de valores de p e q , χ^2 cresceu sempre.

Podemos observar no seguinte exemplo. Para variáveis aleatórias normas bidimensionais com média $\mu = (0,0)$ e matriz de covariância $\Sigma = \begin{pmatrix} 1 & -1 \\ -1 & 2 \end{pmatrix}$. Os pontos normais estão concentrados na elipse seguinte (fig. 4.4) e tomamos as 10 classes da seguinte forma

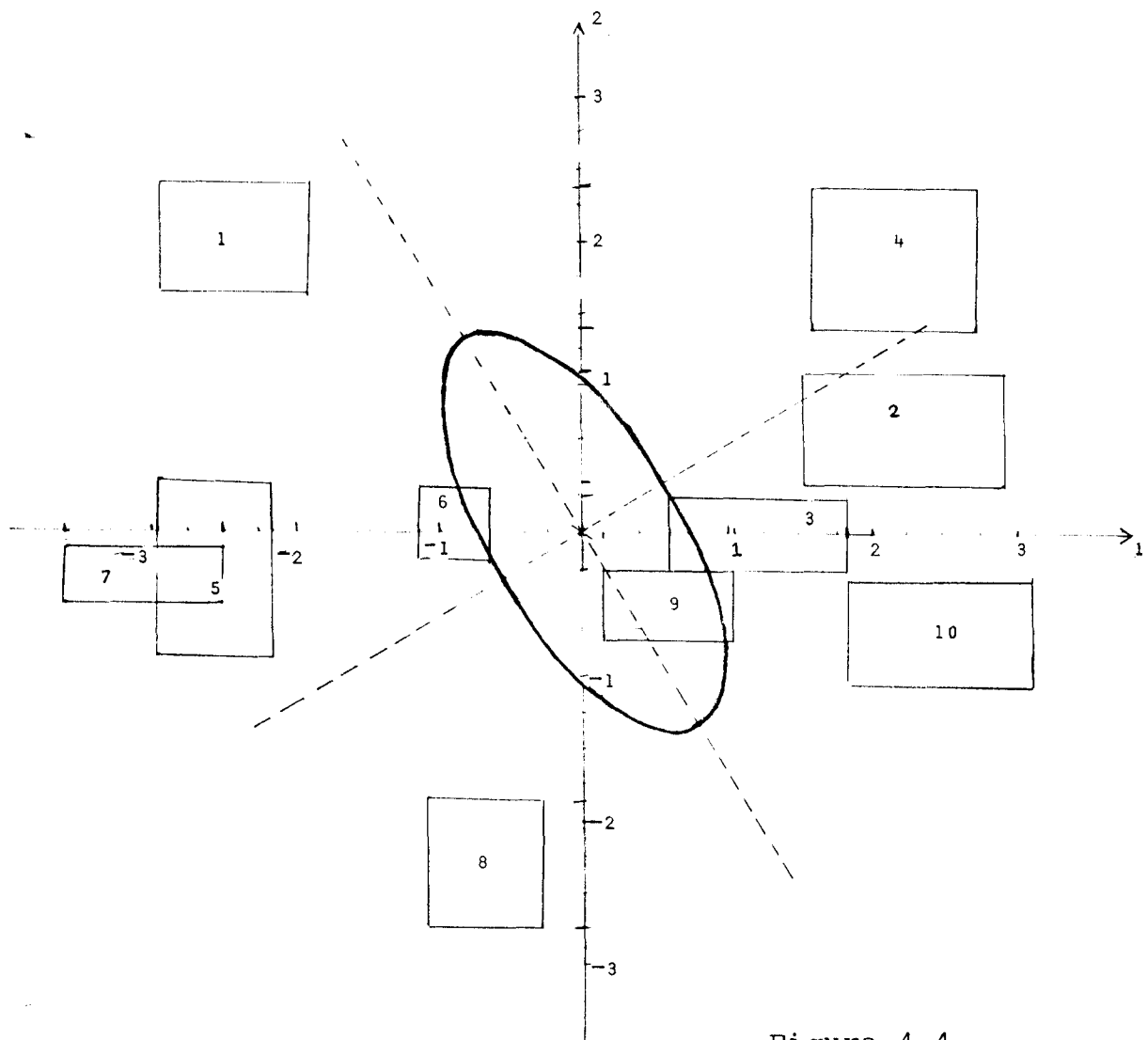


Figura 4.4

Obtivemos $\hat{p} = 3.41$ e $\hat{q} = 50.27$ e $\chi^2 = 105.7$ com 18 graus de liberdade

$$\chi^2_{5\%} = 28.869.$$

O gráfico da variação de p e q em torno de até 2% de \hat{p} e \hat{q} é apresentado em seguida.

Os valores de χ^2 para

$$\hat{p}' = \hat{p} \pm .0005i\hat{p}$$

$$\hat{q}' = \hat{q} \pm .0005i\hat{q} \quad i = 0, 1, \dots, 4.$$

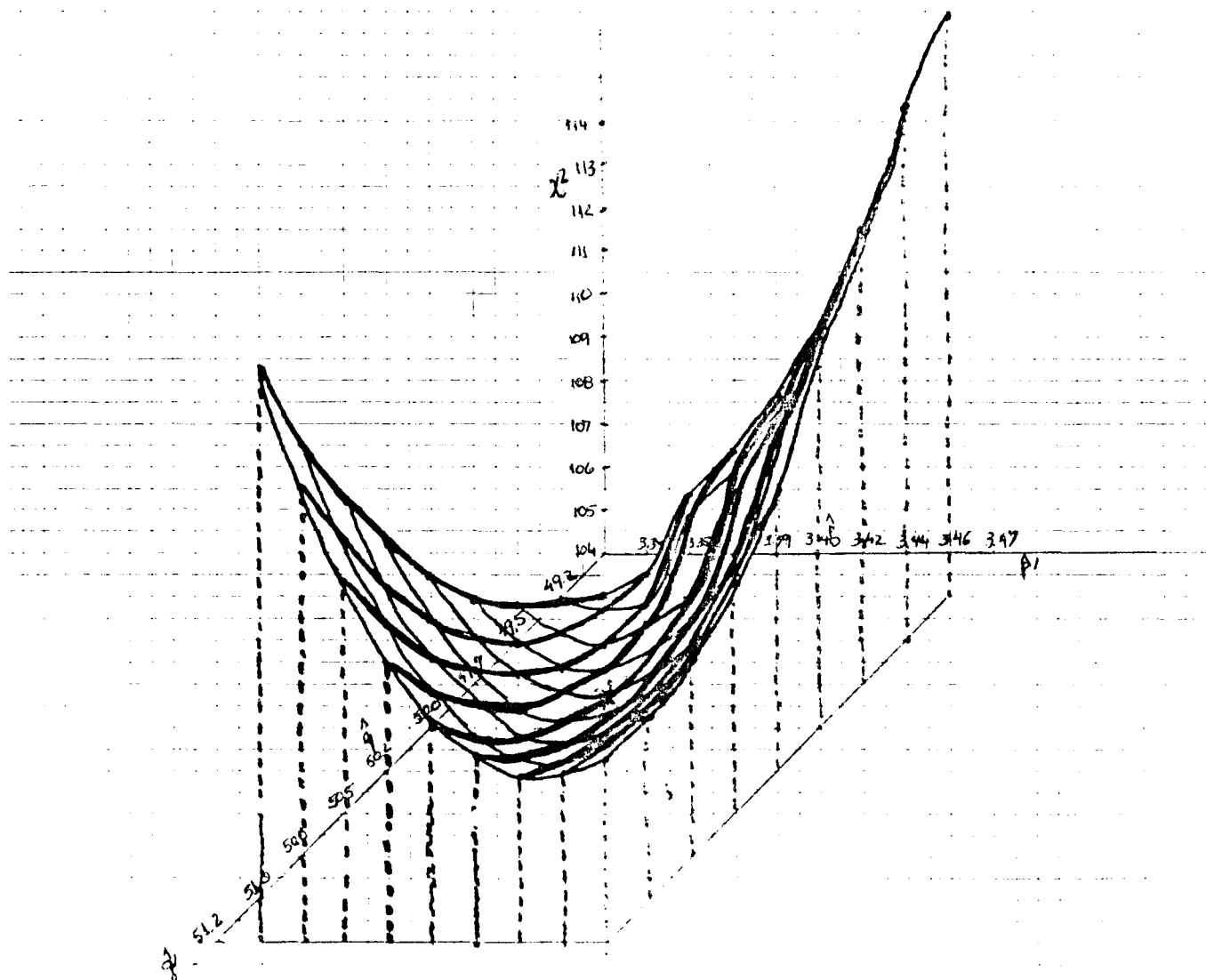


Figura 4.5

Na vizinhança de até 2% que tomamos, sempre rejeitamos a hipótese que a variável β tem distribuição $B(a,p,q)$.

Temos a segunda situação, quando as classes cobrem a elipse. Nesse caso, calculamos o χ^2 para p e q na vizinhança de até 1% em torno das estimativas e obtivemos valores próximos a aqueles obtidos anteriormente para \hat{p} e \hat{q} . As vezes chega até a "melhorar" o valor de χ^2 obtido para as estimativas, mas essa "melhora" é pouco significativa. Já para p e q próximos a 2% de \hat{p} e \hat{q} , obtivemos valores de χ^2 grandes, isto é, a medida que fomos afastando dos valores estimados \hat{p} e \hat{q} , o valor de χ^2 foi aumentando de tal forma que chegamos em alguns casos, até a rejeitar a hipótese que a variável aleatória β_i tem distribuição $B(p,q)$. Então o uso do estimador de máxima verossimilhança, mais uma vez, se justificou plenamente, mesmo em um caso de simulação.

Podemos observar no mesmo exemplo anterior, onde as classes foram tomadas conforme a figura a seguir.

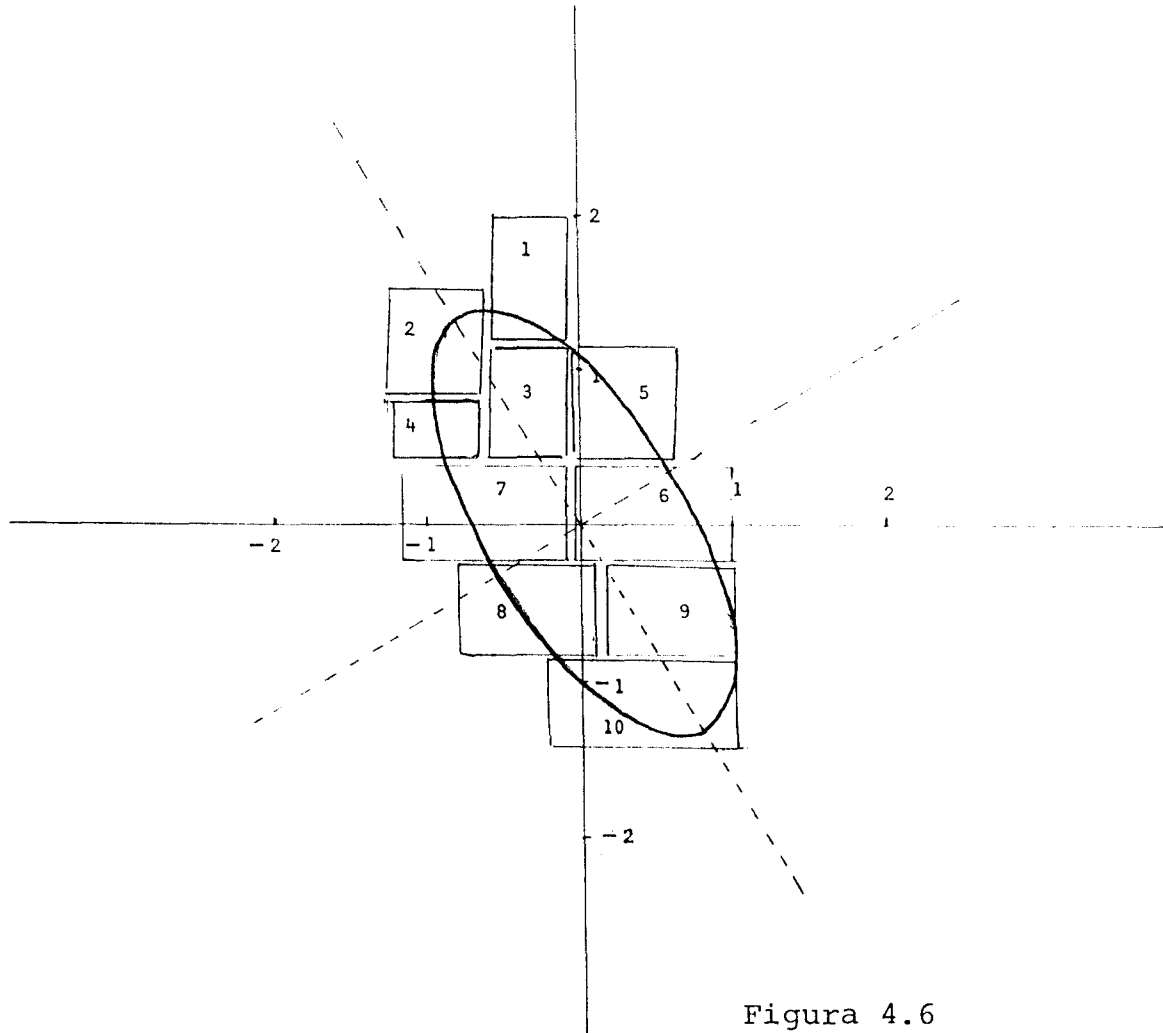


Figura 4.6

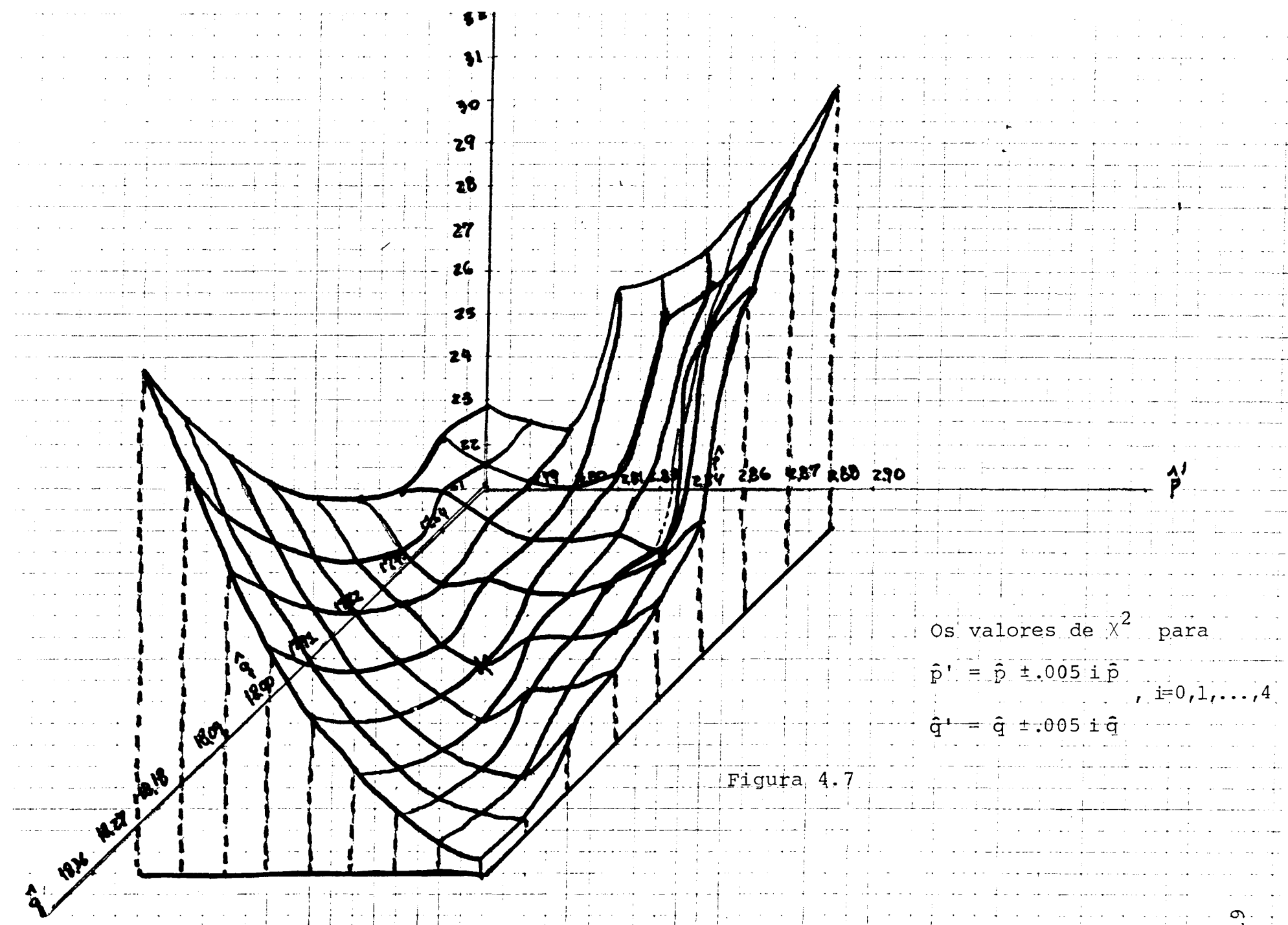
E obtivemos o seguinte comportamento do χ^2 para as variações de p e q .

$$\hat{p} = 2.85, \quad \hat{q} = 18.01$$

$$\chi^2 \text{ observado} = 21.81 \text{ com } 17 \text{ graus de liberdade.}$$

$$\chi^2_{5\%} = 27.587.$$

A figura 4.7 representa as variações de p e q em torno de até 2% dos valores estimados \hat{p} e \hat{q} .



Os valores de χ^2 para

$$\hat{p}' = \hat{p} \pm .005 i \hat{p}, \quad i=0,1,\dots,4$$

$$\hat{q}' = \hat{q} \pm .005 i \hat{q}$$

Figura 4.7

Apresentamos alguns resultados obtidos, ilustrando casos nos quais a distribuição da variável pode ser explicado por uma Beta (p, q)

$$n = 2, k = 10$$

$$\mu = (1 \quad 1) \quad \Sigma = \begin{pmatrix} 1 & 0 \\ 0 & 2 \end{pmatrix}$$

CLASSE	EIXO 1	EIXO 2
1	(1.251, 2.000)	(1.660, 2.430)
2	(.350, 1.250)	(2.001, 2.500)
3	(.350, 1.250)	(1.252, 2.000)
4	(-.200, .349)	(.980, 2.000)
5	(1.251, 2.120)	(.900, 1.649)
6	(.350, 1.250)	(.252, 1.251)
7	(-.200, .349)	(.000, .979)
8	(1.251, 2.120)	(.252, .899)
9	(.350, 1.250)	(-.500, .251)
10	(1.251, 1.850)	(-.450, .251)

Distribuição beta com $\hat{p} = 3.14$ e $\hat{q} = 15.38$.

INTERVALOS	FREQUÊNCIA ABSOLUTA	FREQUÊNCIA ESTIMADA
.0000 — .0206	11	7.9
.0206 — .0412	54	45.8
.0412 — .0618	87	97.7
.0618 — .0824	131	145.0
.0824 — .1030	181	180.0
.1030 — .1237	174	198.0
.1237 — .1443	197	202.0
.1443 — .1649	220	194.0
.1649 — .1855	190	178.0
.1855 — .2061	156	157.0
.2061 — .2267	140	134.0
.2267 — .2473	122	111.0
.2473 — .2679	87	89.4
.2679 — .2885	66	70.3
.2885 — .3091	56	54.0
.3091 — .3298	32	40.6
.3298 — .3504	33	29.8
.3504 — .3710	16	21.4
.3710 — .3916	14	15.1
.3916 — .4122	8	10.4
.4122 — .4328	11	7.0
.4328 — .4534	8	4.6

.4534 → .4740	3	2.9
.4740 → .4946	1	1.8
.4946 → .5152	1	1.1

Qui-quadrado observado = 23.617 com 19 graus de liberdade.

Qui-quadrado crítico = 30.144 com $\alpha = 5\%$

$$n = 3, \quad k = 10$$

$$\mu = (60, -45, 75.9) \quad \Sigma = \begin{pmatrix} 1087.02 & 728.30 & 837.76 \\ 728.30 & 2209.00 & 325.71 \\ 837.76 & 325.71 & 1089.00 \end{pmatrix}$$

CLASSES	EIXO 1	EIXO 2	EIXO 3
1	(20, 60)	(-80, -10)	(100, 150)
2	(60, 100)	(-80, -10)	(100, 150)
3	(-10 60)	(-150, -80)	(50, 100)
4	(60, 130)	(-150, -80)	(50, 100)
5	(-10, 60)	(-80, -10)	(50, 100)
6	(60, 130)	(-80, -10)	(50, 100)
7	(-10, 60)	(-10, 60)	(50, 100)
8	(60, 130)	(-10, 60)	(50, 100)
9	(20, 60)	(-80, -10)	(0, 50)
10	(60, 100)	(-80, -10)	(0, 50)

Distribuição beta com $\hat{p} = 3.88$ e $\hat{q} = 11.12$

INTERVALOS	FREQUÊNCIA ABSOLUTA	FREQUÊNCIA ESTIMADA
.0000 — .0252	3	1.0
.0252 — .0504	15	10.5
.0504 — .0756	33	32.9
.0756 — .1008	61	64.6
.1008 — .1260	85	99.6
.1260 — .1512	138	132.0
.1512 — .1764	132	158.0
.1764 — .2016	177	175.0
.2016 — .2268	193	182.0
.2268 — .2520	201	180.0
.2520 — .2772	173	171.0
.2772 — .3024	150	156.0
.3024 — .3276	133	137.0
.3276 — .3528	122	117.0
.3528 — .3780	94	97.2
.3780 — .4032	79	78.2
.4032 — .4284	56	61.1
.4284 — .4536	44	46.3
.4536 — .4788	39	34.1
.4788 — .5040	22	24.3
.5040 — .5292	20	16.8
.5292 — .5544	16	11.2

.5544 → .5796	7	7.2
.5796 → .6048	2	4.5
.6048 → .6300	4	2.6

Qui-quadrado observado = 18.414 com 20 graus de liberdade.

Qui-quadrado crítico = 31.410 com $\alpha = 5\%$

$n = 5, k = 10$

$$\mu = (20, -10, 32, 14, -30)$$

	51.69	8.81	12.31	15.39	11.12
	8.81	76.56	12.26	15.32	22.08
$\Sigma =$	12.31	12.26	26.94	6.06	10.56
	15.39	15.32	6.06	94.67	9.50
	11.12	22.08	10.56	9.50	66.26

CLASSE	EIXO 1	EIXO 2	EIXO 3	EIXO 4	EIXO 5
1	(10, 20)	(-4, 12)	(28, 35)	(20, 34)	(-36, -25)
2	(20, 30)	(-4, 12)	(28, 35)	(20, 34)	(-36, -25)
3	(5, 20)	(-16, -4)	(21, 28)	(7, 20)	(-47, -36)
4	(20, 35)	(-16, -4)	(21, 28)	(7, 20)	(-47, -36)
5	(5, 20)	(-16, -4)	(28, 35)	(7, 20)	(-36, -25)
6	(20, 35)	(-16, -4)	(28, 35)	(7, 20)	(-36, -25)

7	(5, 20)	(-16, -4)	(35, 43)	(7, 20)	(-25, -13)
8	(20, 35)	(-16, -4)	(35, 43)	(7, 20)	(-25, -13)
9	(10, 20)	(-28, -16)	(28, 35)	(-6, 7)	(-36, -25)
10	(20, 30)	(-28, -16)	(28, 35)	(-6, 7)	(-36, -25)

Distribuição beta com $\hat{p} = 6.10$ e $\hat{q} = 14.76$.

INTERVALOS	FREQUÊNCIA ABSOLUTA	FREQUÊNCIA ESTIMADA
.0000 — .0249	0	.1
.0249 — .0497	1	.5
.0497 — .0746	5	3.9
.0746 — .0995	15	14.2
.0995 — .1243	35	34.3
.1243 — .1492	63	63.7
.1492 — .1740	96	99.2
.1740 — .1989	139	135.0
.1989 — .2238	154	167.0
.2238 — .2486	188	189.0
.2486 — .2735	201	200.0
.2735 — .2984	188	198.0
.2984 — .3232	174	186.0
.3232 — .3481	187	166.0
.3481 — .3729	139	141.0
.3729 — .3978	120	115.0

.3978 → .4227	100	89.7
.4227 → .4475	66	66.9
.4475 → .4724	54	47.9
.4724 → .4973	28	32.7
.4973 → .5221	21	21.4
.5221 → .5470	17	13.3
.5470 → .5718	4	7.9
.5718 → .5967	3	4.4
.5967 → .6216	2	2.4

Qui-quadrado observado = 11.794 com 18 graus de liberdade

Qui-quadrado crítico = 28.869 com $\alpha = 5\%$.

CAPÍTULO V

CONCLUSÃO

O nosso sistema "capaz de aprender" (Ω , S , g , f , v), aqui como sistema de aprendizagem reduzido, sabe que existem várias classes C_i sobre Ω e qualquer padrão a ser classificação pertence a uma das classes C_i .

As classes do professor são hipercubos distribuídos uniforme inicialmente, as classes do sistema são hiperbolas (a regra de decisão é a da mínima distância), e o ambiente é gerado por variáveis aleatórias multinormais.

Após uma análise sobre o comportamento da variável aleatória β , a função correção dada em (1.3.3), chegamos que uma distribuição Beta com parâmetros p e q dá um ajuste satisfatório quando as classes aprendidas estão sobre a região onde os pontos "eventos" estão concentrados. Há então, indicação pelos resultados das simulações que podemos por como indicador de uma aprendizagem correta o ajuste da distribuição amostral da variável aleatória β a uma distribuição teórica Beta.

Lembramos que da maneira como foi construída, as variáveis β 's não são independentes. Pois os pontos referentes podem ser alterados em qualquer das etapas iterativas e estas alterações dependem do valor de β numa certa etapa anterior. Mesmo assim, obtivemos que

a variável β pode ser explicada por uma distribuição Beta (p,q) nas condições descritas anteriormente. O fato de uma classificação ser correta ou incorreta também não influí no ajuste de uma distribuição Beta (p,q) .

ESTE PROGRAMA TESTA O AJUSTE DOS VALORES

DISTANCIA (X(I),Y(I))
BETA(I)= ----- , I=1,...,NG
MEDIA DISTANCIA (X(I),Y(I))

ONDE:

X : DISTRIBUICAO NORMAL N(U,A)

Y : DISTRIBUICAO UNIFORME U(A,B). INICIALMENTE;

COM UMA DISTRIBUICAO GFTA(P,Q).

PARA CALCULAR AUTOVALORES E AUTOVETORES
DA MATRIZ DE COVARIANCA UTILIZA AS SEGUINTES
SUBROTULOS MAG:

- 1 - F01NTE.TFX
- 2 - F02NTE.TFX
- 3 - P01NTE.TFX
- 4 - P01NTE.TFX
- 5 - X02NTE.TFX
- 6 - X02NTE.TFX
- 7 - X04NTE.TFX

OS INTEGROS RETRATAM SIGNIFICAM:

NIN = UNIDADE DE ENTRADA

NDOUT = UNIDADE DE SAIDA

N = DIMENSAO DO ESPACO QUE SE TRABALHA

PN = TAMAÑO DA AMOSTRA

KQ = NUMERO DE CLASSES

NCL = NUMERO DE INTERVALOS DO HISTOGRAMA

```
DIMENSION H(2),TFL(10),XL(2),Y(10),A(10,10),D(12),VN(10),E(12)
DIMENSION W(10),TER(28),REF(20,10),S(10,10),P1(10,10),ELE(10,10)
DIMENSION R(20,10),PGV(30),Z(10,10),PT(10,20),DIST(20)
DIMENSION S(28),PE(12),GB(3000),R(10,10),T(10,10),AL(28),PR(28)
DIMENSION V(28),GU(15),XIS(110),YPS(110),GE1(2200),GE2(2200)
DIMENSION YPA(60),PRO(30),RT2(10,20),TT(30),YIM(60),REG(30)
DOUBLE PRECISION G1,G2,BETA(3000)
COMMON//12/P,C1,XX
EXTERNAL F16
DATA G1/1/
DATA C1/30/
DATA ICI/4/
DATA NDOUT/30/
DATA N/5/
DATA PN/2000/
DATA KQ/10/
DATA NCL/25/
```

SE OS DADOS DE ENTRADA SÃO SÓ:

VN=VERDOR DE MEDIDA, DIMENSÃO N

H = MATRIZ DE COEFICIENTES DE CORRELACION

S = MATRIZ DIAGONAL DOS DESVIOS SIGMA(I,I)

E CALCULA A MATRIZ DE COVARIANCA A(I,J).

READ(VN,995)(VN(I),I=1,7)

```

9      00 9 J=1, n
10     READ(*,945) FACT(J), J=1, n
11     DO 10 I=1, n
12     READ(6,945) RS(I, 1J, J=1, n)
13     READ(FR3(1, 3, F3))
14     READ(PR3(1, P1, S, A))
15     WRITE(6007, 991) C1(I), I=1, n
16     WRITE(6007, 993) C2(I), I=1, n
17     WRITE(6007, 994)
18     DO 10 I=1, n
19     WRITE(6007, 995) C3(I, J), J=1, n
20     I=10
21     I=10

22     PRINT *,"PROGAR UN ALGORITMO"
23
24     CALL FCB(AFF(1, 2), D(1, 1), E(1, 1),
25              F(1, 1), G(1, 1), H(1, 1),
26              I(1, 1), J(1, 1), K(1, 1),
27              L(1, 1), M(1, 1), N(1, 1),
28              O(1, 1), P(1, 1), Q(1, 1),
29              R(1, 1), S(1, 1), T(1, 1),
30              U(1, 1), V(1, 1), W(1, 1),
31              X(1, 1), Y(1, 1), Z(1, 1),
32              IFA1=1)

33     CONTINUE

34
35     C1A = HAT(IZ) DIAGONAL DOS AUTÔVORES DE L
36     C2A = HAT(IU) DO AUTÔVORES DE L
37
38     DO 13 I=1, n
39     DO 13 J=1, n
40     L(I,J)=C1(I,J)
41     DO 13 I=1, n
42     L(I,I)=1.0
43     DO 13 I=1, n
44     L(I,I)=L(I,I)-C1(I,I)
45     DO 13 I=1, n
46     DO 13 J=1, n
47     L(I,J)=L(I,J)-C1(I,J)
48     DO 13 I=1, n
49     DO 13 J=1, n
50     L(I,J)=L(I,J)/C1(I,J)
51     DO 13 I=1, n
52     DO 13 J=1, n
53     L(I,J)=L(I,J)*C2(I,J)
54     CALL PROD(X, L, SEC, PC)
55
56     DO 36 K=1, n
57     WRITE(6, 946) "INTERCINGOS QUE COMPAREM AS CLASSES
58     E ESCOLHIDAS ALTERNAMENTE DE PONTO PARA PONTO NELAS"
59
60     WRITE(6, 947) "DO PONTO INICIAIS ALIMENTADOS, /"
61     DO 36 I=1, n
62     DO 36 K=1, n
63     READ(*,975) RT(I,K,1), RT(K,1,I)
64     WRITE(6007, 996) I
65     DO 36 K=1, n
66     WRITE(6007, 997) RT(I,K,1), RT(K,1,I)
67     WRITE(6007, 998)
68     WRITE(6007, 700)
69     I=2, 31567

```

```

DO 3 I=1,n
DO 4 K=1,p
  G(EA)(G)
  RKF(K,I)=(RKF(I,K)-RTF(I,K))*C+RTF(I,K)
  DO 5 I=1,n
    WRITE(10,544)I,(RKF(I,K),K=1,p)
  5 CC=0
  NCN=0
  N=0
  3 K=K+1
  4 I=I+1

```

GENE FURTHER REFINED AS THE VARIOUS COULDING DIMENSIONS
LESS VARIOUSLY DISTINCTIONABLE (C.T.)

$L \in U$
 $TF(L, ST_{\{1, 2\}}) = GL \cap TF_{\{1, 2\}}$
 $D \oplus ST_{\{1, 2\}}$
 $G = R \times L^{\perp}(G)$
 $d(L) = 0$
 $\lambda L(L) = d \in U(L) + 1$
 $C \oplus \pi^* F^* L_{\mathbb{R}}$
 $SS = \lambda L(L) \otimes \mathbb{R} + \lambda L(L) \otimes$
 $TF(US, ST_{\{1, 2\}}) = GL \cap$
 $D \oplus ST_{\{1, 2\}}$
 $\lambda(L + I) = \lambda L(L) + S_{\{1, 2\}} + C$
 $U \oplus L + ?$
 $G \oplus L + ?$
 $C \oplus \pi^* F^* L_{\mathbb{R}}$

CRITICISMO, DIALOGO, Y, OJO A OJO. DISCUSSIONES SOBRE LA CULTIVACION DE LA PINTURA.

$$\begin{aligned} & \text{d}x = 2t \text{d}t, \quad x \\ & \text{d}y = t^2 \text{d}t, \quad y \\ & \text{d}z = t^3 \text{d}t, \quad z \\ & \text{d}S = \sqrt{1 + 4t^2} \text{d}t, \quad S \\ & \text{d}V = \pi t^2 \text{d}t, \quad V \\ & \text{d}M = \frac{\rho}{2} \pi t^4 \text{d}t, \quad M \end{aligned}$$

DE B. VIEIRAS MELHORAS, ESTUDOS SOBRE DIFERENÇAS ENTRE DAS CLASSES SOCIAIS NA INDUSTRIA METALURGICA E INDUSTRIAS DA CONSTRUCAO AS DIFERENCIAS DE INGRESSO DE REPETITIVOS SISTEMA PREDICAM A GESTAO VINCULADA

$\Gamma T = 5$
 $\Delta = 2$
 $\Gamma E(\gamma^*, G_{\pi^+}(0)) = 0.9 \pm 0.1$ [71]
 $K = K + 1$
 $I = 0$
 $I = I + 1$
 $\Gamma E(\gamma^*(1), G_{\pi^+}^{(0)}(1, 0)) = 3.0 \pm 0.1$ [71, 72]
 $\Gamma E(1, \Delta) = 0.9 \pm 0.1$
 $I = I + 1$

WORLD WAR II & THE 1940S WAS THE CLASSIC ERA OF
THE (A) SIGNIFICANT IN CLOTHING & FASHION.
FASHION FURTHER CHANGED IN THE 1950S.

$\text{Erf}(x) \approx$
 $E(x) = 1 - e^{-x^2/2}$

```

171 IF( IT .EQ. 0 ) GO TO 30
172 IF( IT .EQ. 1 ) GO TO 172
173
272 TH=TH+1
     ANT=(1H_1)/FLOAT(I)
     POS=FLOAT(TU)/FLOAT(IT)
     IF(G_GF .NE. F)GO TO 274
     GO TO 272
274 IF(G_LT .POS)GO TO 276
     GO TO 272
276 K=TAL(TU)
     GO TO 271
172 K=TAL(IT)
271 M=M+1
     DD 24 T1=1,K0
     SDMA=0.0
     DD 25 J=1,N
25 SDMA=(PLF(II,J)-B(JJ))*Z+SDMA
     DIST(IT)=DIST(SDMA)
     AMAX=DIST(1)
     DD 26 T1=2,K0
     IF(DIST(II).LT.AMAX) GO TO 26
     AMAX=DIST(II)
26 CONTINUE
     M1N=DIST(1)
     KC=1
     DD 27 T1=2,K0
     IF(DIST(II).GT.AMAX) GO TO 27
     AMIN=DIST(II)
     KC=IT
     CONTINUE
     BETA(M)=DIST(K)/AMAX
     IF(KC .EQ. K) GO TO 50
     NCP=NCP+1
     GO TO 51
50 NCC=NCC+1

2 CORRETGE A REFERENCIA.

2
2
51 DD 28 I=1,N
2 RFF(K,I)=BETA(M)*B(I)+(1.0-BETA(M))*RFF(K,I)
2 GO TO 30
2
2 FAZ O HISTOGRAFO DE BETA.DIVIDIDO EM NCB CLASSES
2
31 CONTINUE
     WRITE(NOUT,561)NN
561 FORMAT(//,2X,'NUMERO TOTAL DE POLOS CLASSIFICADOS =',I6)
     WRITE(NOUT,560)NCC,NCE
560 FORMAT(//,2X,'CERTOS =',I6,10X,'ERRADOS =',I4,///)
     NRE=NA
     DD 69 I=1,NN
     G8(I)=BET(A(I))
     BMAX=BET(A(1))
     NVA=1
     DD 35 I=2,NN
     IF(BET(A(I)).GT.BMAX)GO TO 35
     BMAX=BET(A(I))
     NVA=1
35 CONTINUE

```

9. $\Delta X = 0.0001$
 IF (NVI .EQ. 1) MAXX = BETM(2)
 DO 445 I=2, NVI
 IF (I .LT. NVI) GO TO 445
 IF (BETA(I) .LT. MAXX) GO TO 445
 MAXX = BETM(1)
 445 CONTINUE
 $V_A = B_{\perp} \Delta X - B_{\parallel} \Delta X Z$
 IF (VA .GT. -0.60) GO TO 447
 GO TO 443
 442 BETA(LVA) = 0.
 NIN = 0.0 - 1
 GO TO 444
 443 VD = 33. I=1, NCL
 $V_C(I) = 0$
 447 I=0
 I=I+1
 IF (BETA(I) .LT. 0.) GO TO 447
 IF (BETA(I) .LT. -0.60) GO TO 446
 $\kappa = NCL$
 GO TO 37
 36 $\kappa = \text{IFIX}(GO(I)*NCL + 0.5) + 1$
 37 $V_C(N) = V_C(N) + 1$
 IF (L .NE. 47) GO TO 447
 38 CONTINUE
 DO 34 J=0, NCL-1
 $A_L(J+1) = J * (B_{\perp} \Delta X / NCL)$
 $A_S(J+1) = (J+1) * (B_{\parallel} \Delta X / NCL)$
 $F_R(I+1) = F_C(I+1) / FCL * T(NR)$
 C1 = T(NR).C1
 C2 = T(NR).C2
 C3 = T(NR).C3
 C4 = T(NR).C4
 C5 = T(NR).C5
 C6 = T(NR).C6
 C7 = T(NR).C7
 C8 = T(NR).C8
 C9 = T(NR).C9
 C10 = T(NR).C10
 C11 = T(NR).C11
 C12 = T(NR).C12
 C13 = T(NR).C13
 C14 = T(NR).C14
 C15 = T(NR).C15
 C16 = T(NR).C16
 C17 = T(NR).C17
 C18 = T(NR).C18
 C19 = T(NR).C19
 C20 = T(NR).C20
 C21 = T(NR).C21
 C22 = T(NR).C22
 C23 = T(NR).C23
 C24 = T(NR).C24
 C25 = T(NR).C25
 C26 = T(NR).C26
 C27 = T(NR).C27
 C28 = T(NR).C28
 C29 = T(NR).C29
 C30 = T(NR).C30
 C31 = T(NR).C31
 C32 = T(NR).C32
 C33 = T(NR).C33
 C34 = T(NR).C34
 C35 = T(NR).C35
 C36 = T(NR).C36
 C37 = T(NR).C37
 C38 = T(NR).C38
 C39 = T(NR).C39
 C40 = T(NR).C40
 C41 = T(NR).C41
 C42 = T(NR).C42
 C43 = T(NR).C43
 C44 = T(NR).C44
 C45 = T(NR).C45
 C46 = T(NR).C46
 C47 = T(NR).C47
 C48 = T(NR).C48
 C49 = T(NR).C49
 C50 = T(NR).C50
 C51 = T(NR).C51
 C52 = T(NR).C52
 C53 = T(NR).C53
 C54 = T(NR).C54
 C55 = T(NR).C55
 C56 = T(NR).C56
 C57 = T(NR).C57
 C58 = T(NR).C58
 C59 = T(NR).C59
 C60 = T(NR).C60
 C61 = T(NR).C61
 C62 = T(NR).C62
 C63 = T(NR).C63
 C64 = T(NR).C64
 C65 = T(NR).C65
 C66 = T(NR).C66
 C67 = T(NR).C67
 C68 = T(NR).C68
 C69 = T(NR).C69
 C70 = T(NR).C70
 C71 = T(NR).C71
 C72 = T(NR).C72
 C73 = T(NR).C73
 C74 = T(NR).C74
 C75 = T(NR).C75
 C76 = T(NR).C76
 C77 = T(NR).C77
 C78 = T(NR).C78
 C79 = T(NR).C79
 C80 = T(NR).C80
 C81 = T(NR).C81
 C82 = T(NR).C82
 C83 = T(NR).C83
 C84 = T(NR).C84
 C85 = T(NR).C85
 C86 = T(NR).C86
 C87 = T(NR).C87
 C88 = T(NR).C88
 C89 = T(NR).C89
 C90 = T(NR).C90
 C91 = T(NR).C91
 C92 = T(NR).C92
 C93 = T(NR).C93
 C94 = T(NR).C94
 C95 = T(NR).C95
 C96 = T(NR).C96
 C97 = T(NR).C97
 C98 = T(NR).C98
 C99 = T(NR).C99
 C100 = T(NR).C100
 C101 = T(NR).C101
 C102 = T(NR).C102
 C103 = T(NR).C103
 C104 = T(NR).C104
 C105 = T(NR).C105
 C106 = T(NR).C106
 C107 = T(NR).C107
 C108 = T(NR).C108
 C109 = T(NR).C109
 C110 = T(NR).C110
 C111 = T(NR).C111
 C112 = T(NR).C112
 C113 = T(NR).C113
 C114 = T(NR).C114
 C115 = T(NR).C115
 C116 = T(NR).C116
 C117 = T(NR).C117
 C118 = T(NR).C118
 C119 = T(NR).C119
 C120 = T(NR).C120
 C121 = T(NR).C121
 C122 = T(NR).C122
 C123 = T(NR).C123
 C124 = T(NR).C124
 C125 = T(NR).C125
 C126 = T(NR).C126
 C127 = T(NR).C127
 C128 = T(NR).C128
 C129 = T(NR).C129
 C130 = T(NR).C130
 C131 = T(NR).C131
 C132 = T(NR).C132
 C133 = T(NR).C133
 C134 = T(NR).C134
 C135 = T(NR).C135
 C136 = T(NR).C136
 C137 = T(NR).C137
 C138 = T(NR).C138
 C139 = T(NR).C139
 C140 = T(NR).C140
 C141 = T(NR).C141
 C142 = T(NR).C142
 C143 = T(NR).C143
 C144 = T(NR).C144
 C145 = T(NR).C145
 C146 = T(NR).C146
 C147 = T(NR).C147
 C148 = T(NR).C148
 C149 = T(NR).C149
 C150 = T(NR).C150
 C151 = T(NR).C151
 C152 = T(NR).C152
 C153 = T(NR).C153
 C154 = T(NR).C154
 C155 = T(NR).C155
 C156 = T(NR).C156
 C157 = T(NR).C157
 C158 = T(NR).C158
 C159 = T(NR).C159
 C160 = T(NR).C160
 C161 = T(NR).C161
 C162 = T(NR).C162
 C163 = T(NR).C163
 C164 = T(NR).C164
 C165 = T(NR).C165
 C166 = T(NR).C166
 C167 = T(NR).C167
 C168 = T(NR).C168
 C169 = T(NR).C169
 C170 = T(NR).C170
 C171 = T(NR).C171
 C172 = T(NR).C172
 C173 = T(NR).C173
 C174 = T(NR).C174
 C175 = T(NR).C175
 C176 = T(NR).C176
 C177 = T(NR).C177
 C178 = T(NR).C178
 C179 = T(NR).C179
 C180 = T(NR).C180
 C181 = T(NR).C181
 C182 = T(NR).C182
 C183 = T(NR).C183
 C184 = T(NR).C184
 C185 = T(NR).C185
 C186 = T(NR).C186
 C187 = T(NR).C187
 C188 = T(NR).C188
 C189 = T(NR).C189
 C190 = T(NR).C190
 C191 = T(NR).C191
 C192 = T(NR).C192
 C193 = T(NR).C193
 C194 = T(NR).C194
 C195 = T(NR).C195
 C196 = T(NR).C196
 C197 = T(NR).C197
 C198 = T(NR).C198
 C199 = T(NR).C199
 C200 = T(NR).C200
 C201 = T(NR).C201
 C202 = T(NR).C202
 C203 = T(NR).C203
 C204 = T(NR).C204
 C205 = T(NR).C205
 C206 = T(NR).C206
 C207 = T(NR).C207
 C208 = T(NR).C208
 C209 = T(NR).C209
 C210 = T(NR).C210
 C211 = T(NR).C211
 C212 = T(NR).C212
 C213 = T(NR).C213
 C214 = T(NR).C214
 C215 = T(NR).C215
 C216 = T(NR).C216
 C217 = T(NR).C217
 C218 = T(NR).C218
 C219 = T(NR).C219
 C220 = T(NR).C220
 C221 = T(NR).C221
 C222 = T(NR).C222
 C223 = T(NR).C223
 C224 = T(NR).C224
 C225 = T(NR).C225
 C226 = T(NR).C226
 C227 = T(NR).C227
 C228 = T(NR).C228
 C229 = T(NR).C229
 C230 = T(NR).C230
 C231 = T(NR).C231
 C232 = T(NR).C232
 C233 = T(NR).C233
 C234 = T(NR).C234
 C235 = T(NR).C235
 C236 = T(NR).C236
 C237 = T(NR).C237
 C238 = T(NR).C238
 C239 = T(NR).C239
 C240 = T(NR).C240
 C241 = T(NR).C241
 C242 = T(NR).C242
 C243 = T(NR).C243
 C244 = T(NR).C244
 C245 = T(NR).C245
 C246 = T(NR).C246
 C247 = T(NR).C247
 C248 = T(NR).C248
 C249 = T(NR).C249
 C250 = T(NR).C250
 C251 = T(NR).C251
 C252 = T(NR).C252
 C253 = T(NR).C253
 C254 = T(NR).C254
 C255 = T(NR).C255
 C256 = T(NR).C256
 C257 = T(NR).C257
 C258 = T(NR).C258
 C259 = T(NR).C259
 C260 = T(NR).C260
 C261 = T(NR).C261
 C262 = T(NR).C262
 C263 = T(NR).C263
 C264 = T(NR).C264
 C265 = T(NR).C265
 C266 = T(NR).C266
 C267 = T(NR).C267
 C268 = T(NR).C268
 C269 = T(NR).C269
 C270 = T(NR).C270
 C271 = T(NR).C271
 C272 = T(NR).C272
 C273 = T(NR).C273
 C274 = T(NR).C274
 C275 = T(NR).C275
 C276 = T(NR).C276
 C277 = T(NR).C277
 C278 = T(NR).C278
 C279 = T(NR).C279
 C280 = T(NR).C280
 C281 = T(NR).C281
 C282 = T(NR).C282
 C283 = T(NR).C283
 C284 = T(NR).C284
 C285 = T(NR).C285
 C286 = T(NR).C286
 C287 = T(NR).C287
 C288 = T(NR).C288
 C289 = T(NR).C289
 C290 = T(NR).C290
 C291 = T(NR).C291
 C292 = T(NR).C292
 C293 = T(NR).C293
 C294 = T(NR).C294
 C295 = T(NR).C295
 C296 = T(NR).C296
 C297 = T(NR).C297
 C298 = T(NR).C298
 C299 = T(NR).C299
 C300 = T(NR).C300
 C301 = T(NR).C301
 C302 = T(NR).C302
 C303 = T(NR).C303
 C304 = T(NR).C304
 C305 = T(NR).C305
 C306 = T(NR).C306
 C307 = T(NR).C307
 C308 = T(NR).C308
 C309 = T(NR).C309
 C310 = T(NR).C310
 C311 = T(NR).C311
 C312 = T(NR).C312
 C313 = T(NR).C313
 C314 = T(NR).C314
 C315 = T(NR).C315
 C316 = T(NR).C316
 C317 = T(NR).C317
 C318 = T(NR).C318
 C319 = T(NR).C319
 C320 = T(NR).C320
 C321 = T(NR).C321
 C322 = T(NR).C322
 C323 = T(NR).C323
 C324 = T(NR).C324
 C325 = T(NR).C325
 C326 = T(NR).C326
 C327 = T(NR).C327
 C328 = T(NR).C328
 C329 = T(NR).C329
 C330 = T(NR).C330
 C331 = T(NR).C331
 C332 = T(NR).C332
 C333 = T(NR).C333
 C334 = T(NR).C334
 C335 = T(NR).C335
 C336 = T(NR).C336
 C337 = T(NR).C337
 C338 = T(NR).C338
 C339 = T(NR).C339
 C340 = T(NR).C340
 C341 = T(NR).C341
 C342 = T(NR).C342
 C343 = T(NR).C343
 C344 = T(NR).C344
 C345 = T(NR).C345
 C346 = T(NR).C346
 C347 = T(NR).C347
 C348 = T(NR).C348
 C349 = T(NR).C349
 C350 = T(NR).C350
 C351 = T(NR).C351
 C352 = T(NR).C352
 C353 = T(NR).C353
 C354 = T(NR).C354
 C355 = T(NR).C355
 C356 = T(NR).C356
 C357 = T(NR).C357
 C358 = T(NR).C358
 C359 = T(NR).C359
 C360 = T(NR).C360
 C361 = T(NR).C361
 C362 = T(NR).C362
 C363 = T(NR).C363
 C364 = T(NR).C364
 C365 = T(NR).C365
 C366 = T(NR).C366
 C367 = T(NR).C367
 C368 = T(NR).C368
 C369 = T(NR).C369
 C370 = T(NR).C370
 C371 = T(NR).C371
 C372 = T(NR).C372
 C373 = T(NR).C373
 C374 = T(NR).C374
 C375 = T(NR).C375
 C376 = T(NR).C376
 C377 = T(NR).C377
 C378 = T(NR).C378
 C379 = T(NR).C379
 C380 = T(NR).C380
 C381 = T(NR).C381
 C382 = T(NR).C382
 C383 = T(NR).C383
 C384 = T(NR).C384
 C385 = T(NR).C385
 C386 = T(NR).C386
 C387 = T(NR).C387
 C388 = T(NR).C388
 C389 = T(NR).C389
 C390 = T(NR).C390
 C391 = T(NR).C391
 C392 = T(NR).C392
 C393 = T(NR).C393
 C394 = T(NR).C394
 C395 = T(NR).C395
 C396 = T(NR).C396
 C397 = T(NR).C397
 C398 = T(NR).C398
 C399 = T(NR).C399
 C400 = T(NR).C400
 C401 = T(NR).C401
 C402 = T(NR).C402
 C403 = T(NR).C403
 C404 = T(NR).C404
 C405 = T(NR).C405
 C406 = T(NR).C406
 C407 = T(NR).C407
 C408 = T(NR).C408
 C409 = T(NR).C409
 C410 = T(NR).C410
 C411 = T(NR).C411
 C412 = T(NR).C412
 C413 = T(NR).C413
 C414 = T(NR).C414
 C415 = T(NR).C415
 C416 = T(NR).C416
 C417 = T(NR).C417
 C418 = T(NR).C418
 C419 = T(NR).C419
 C420 = T(NR).C420
 C421 = T(NR).C421
 C422 = T(NR).C422
 C423 = T(NR).C423
 C424 = T(NR).C424
 C425 = T(NR).C425
 C426 = T(NR).C426
 C427 = T(NR).C427
 C428 = T(NR).C428
 C429 = T(NR).C429
 C430 = T(NR).C430
 C431 = T(NR).C431
 C432 = T(NR).C432
 C433 = T(NR).C433
 C434 = T(NR).C434
 C435 = T(NR).C435
 C436 = T(NR).C436
 C437 = T(NR).C437
 C438 = T(NR).C438
 C439 = T(NR).C439
 C440 = T(NR).C440
 C441 = T(NR).C441
 C442 = T(NR).C442
 C443 = T(NR).C443
 C444 = T(NR).C444
 C445 = T(NR).C445
 C446 = T(NR).C446
 C447 = T(NR).C447
 C448 = T(NR).C448
 C449 = T(NR).C449
 C450 = T(NR).C450
 C451 = T(NR).C451
 C452 = T(NR).C452
 C453 = T(NR).C453
 C454 = T(NR).C454
 C455 = T(NR).C455
 C456 = T(NR).C456
 C457 = T(NR).C457
 C458 = T(NR).C458
 C459 = T(NR).C459
 C460 = T(NR).C460
 C461 = T(NR).C461
 C462 = T(NR).C462
 C463 = T(NR).C463
 C464 = T(NR).C464
 C465 = T(NR).C465
 C466 = T(NR).C466
 C467 = T(NR).C467
 C468 = T(NR).C468
 C469 = T(NR).C469
 C470 = T(NR).C470
 C471 = T(NR).C471
 C472 = T(NR).C472
 C473 = T(NR).C473
 C474 = T(NR).C474
 C475 = T(NR).C475
 C476 = T(NR).C476
 C477 = T(NR).C477
 C478 = T(NR).C478
 C479 = T(NR).C479
 C480 = T(NR).C480
 C481 = T(NR).C481
 C482 = T(NR).C482
 C483 = T(NR).C483
 C484 = T(NR).C484
 C485 = T(NR).C485
 C486 = T(NR).C486
 C487 = T(NR).C487
 C488 = T(NR).C488
 C489 = T(NR).C489
 C490 = T(NR).C490
 C491 = T(NR).C491
 C492 = T(NR).C492
 C493 = T(NR).C493
 C494 = T(NR).C494
 C495 = T(NR).C495
 C496 = T(NR).C496
 C497 = T(NR).C497
 C498 = T(NR).C498
 C499 = T(NR).C499
 C500 = T(NR).C500
 C501 = T(NR).C501
 C502 = T(NR).C502
 C503 = T(NR).C503
 C504 = T(NR).C504
 C505 = T(NR).C505
 C506 = T(NR).C506
 C507 = T(NR).C507
 C508 = T(NR).C508
 C509 = T(NR).C509
 C510 = T(NR).C510
 C511 = T(NR).C511
 C512 = T(NR).C512
 C513 = T(NR).C513
 C514 = T(NR).C514
 C515 = T(NR).C515
 C516 = T(NR).C516
 C517 = T(NR).C517
 C518 = T(NR).C518
 C519 = T(NR).C519
 C520 = T(NR).C520
 C521 = T(NR).C521
 C522 = T(NR).C522
 C523 = T(NR).C523
 C524 = T(NR).C524
 C525 = T(NR).C525
 C526 = T(NR).C526
 C527 = T(NR).C527
 C528 = T(NR).C528
 C529 = T(NR).C529
 C530 = T(NR).C530
 C531 = T(NR).C531
 C532 = T(NR).C532
 C533 = T(NR).C533
 C534 = T(NR).C534
 C535 = T(NR).C535
 C536 = T(NR).C536
 C537 = T(NR).C537
 C538 = T(NR).C538
 C539 = T(NR).C539
 C540 = T(NR).C540
 C541 = T(NR).C541
 C542 = T(NR).C542
 C543 = T(NR).C543
 C544 = T(NR).C544
 C545 = T(NR).C545
 C546 = T(NR).C546
 C547 = T(NR).C547
 C548 = T(NR).C548
 C549 = T(NR).C549
 C550 = T(NR).C550
 C551 = T(NR).C551
 C552 = T(NR).C552
 C553 = T(NR).C553
 C554 = T(NR).C554
 C555 = T(NR).C555
 C556 = T(NR).C556
 C557 = T(NR).C557
 C558 = T(NR).C558
 C559 = T(NR).C559
 C560 = T(NR).C560
 C561 = T(NR).C561
 C562 = T(NR).C562
 C563 = T(NR).C563
 C564 = T(NR).C564
 C565 = T(NR).C565
 C566 = T(NR).C566
 C567 = T(NR).C567
 C568 = T(NR).C568
 C569 = T(NR).C569
 C570 = T(NR).C570
 C571 = T(NR).C571
 C572 = T(NR).C572
 C573 = T(NR).C573
 C574 = T(NR).C574
 C575 = T(NR).C575
 C576 = T(NR).C576
 C577 = T(NR).C577
 C578 = T(NR).C578
 C579 = T(NR).C579
 C580 = T(NR).C580
 C581 = T(NR).C581
 C582 = T(NR).C582
 C583 = T(NR).C583
 C584 = T(NR).C584
 C585 = T(NR).C585
 C586 = T(NR).C586
 C587 = T(NR).C587
 C588 = T(NR).C588
 C589 = T(NR).C589
 C590 = T(NR).C590
 C591 = T(NR).C591
 C592 = T(NR).C592
 C593 = T(NR).C593
 C594 = T(NR).C594
 C595 = T(NR).C595
 C596 = T(NR).C596
 C597 = T(NR).C597
 C598 = T(NR).C598
 C599 = T(NR).C599
 C600 = T(NR).C600
 C601 = T(NR).C601
 C602 = T(NR).C602
 C603 = T(NR).C603
 C604 = T(NR).C604
 C605 = T(NR).C605
 C606 = T(NR).C606
 C607 = T(NR).C607
 C608 = T(NR).C608
 C609 = T(NR).C609
 C610 = T(NR).C610
 C611 = T(NR).C611
 C612 = T(NR).C612
 C613 = T(NR).C613
 C614 = T(NR).C614
 C615 = T(NR).C615
 C616 = T(NR).C616
 C617 = T(NR).C617
 C618 = T(NR).C618
 C619 = T(NR).C619
 C620 = T(NR).C620
 C621 = T(NR).C621
 C622 = T(NR).C622
 C623 = T(NR).C623
 C624 = T(NR).C624
 C625 = T(NR).C625
 C626 = T(NR).C626
 C627 = T(NR).C627
 C628 = T(NR).C628
 C629 = T(NR).C629
 C630 = T(NR).C630
 C631 = T(NR).C631
 C632 = T(NR).C632
 C633 = T(NR).C633
 C634 = T(NR).C634
 C635 = T(NR).C635
 C636 = T(NR).C636
 C637 = T(NR).C637
 C638 = T(NR).C638
 C639 = T(NR).C639
 C640 = T(NR).C640
 C641 = T(NR).C641
 C642 = T(NR).C642
 C643 = T(NR).C643
 C644 = T(NR).C644
 C645 = T(NR).C645
 C646 = T(NR).C646
 C647 = T(NR).C647
 C648 = T(NR).C648
 C649 = T(NR).C649
 C650 = T(NR).C650
 C651 = T(NR).C651
 C652 = T(NR).C652
 C653 = T(NR).C653
 C654 = T(NR).C654
 C655 = T(NR).C655
 C656 = T(NR).C656
 C657 = T(NR).C657
 C658 = T(NR).C658
 C659 = T(NR).C659
 C660 = T(NR).C660
 C661 = T(NR).C661
 C662 = T(NR).C662
 C663 = T(NR).C663
 C664 = T(NR).C664
 C665 = T(NR).C665
 C666 = T(NR).C666
 C667 = T(NR).C667
 C668 = T(NR).C668
 C669 = T(NR).C669
 C670 = T(NR).C670
 C671 = T(NR).C671
 C672 = T(NR).C672
 C673 = T(NR).C673
 C674 = T(NR).C674
 C675 = T(NR).C675
 C676 = T(NR).C676
 C677 = T(NR).C677
 C678 = T(NR).C678
 C679 = T(NR).C679
 C680 = T(NR).C680
 C681 = T(NR).C681
 C682 = T(NR).C682
 C683 = T(NR).C683
 C684 = T(N

978 FDR4AT(//,2X,*)MPIE DE AUTOVETORES*)
 979 FDR4AT(2X,*,R7.1,I2.1)(*,F8.3,F8.3,*)
 975 FDR4AT(7.E-4,3X,F8.4,5X,I4,7X,F8.3)
 976 FDR4AT(F8.3,F8.3)

8811A LS PARAMETROS E S A DE
 FDR4AT DESENHOS DEIA:

$$\epsilon(\lambda) = \frac{\lambda^2 - 1}{\lambda^2 + (\lambda^2 - 1)} \quad , \quad (\lambda \ll 1) .$$

HABEMOS O VALOR DA TENSÃO DA
 VIBRAÇÃO ELÉTRICA, USADA
 PARA OS DESENHOS.

C1=ALEG(G21)

C2=ALEG(G22)

E1=10.

A1=.1

EPS=1.E-06

N1=300

X1=1

E1=1.7.E-01,E1=8E+1.0

X3=1

X2=(E1+E2)/2.

E1=F1a(X1)

E3=F1b(X3)

E2=F1b(X2)

IF(AE(S(E2),L1,AE(S(E1))) GO TO 111

Y1=E2

E2=E1

E1=Y1

Y1=E2

A2=A1

A1=1P

IF(EBS(E3),L1,AE(S(E2))) GO TO 113

IF(AE(S(E3),L1,AE(S(E1))) GO TO 112

Y1=E3

E3=V1

V1=Y1

Y1=X3

A3=A1

A1=Y1

IF(EBS(E3),L1,AE(S(E2))) GO TO 113

Y1=E2

E2=E3

E3=Y1

Y1=X2

X2=X3

A2=Y1

A1=1-1

Y1=X3-X2

IF(YF(.E-0.5.0)) GO TO 116

Z1=X3-X1

IF(ZE.FD.0.0)) GO TO 116

AV2=(E3-E1)/ZK

IF(E1-LC*.E-0.5.AE(S(E3).LC*.E-0.0)) GO TO 114

	$1F((E_1.GE_1.E_1.AND.E_3.GE_0.0))$	GJ	TG	114
	$A_1=E_3+E_1$			
	$A_2=E_2+E_3$			
	$GD=10$	115		
114	$A_1=E_3+E_1$			
	$A_2=E_2+E_3$			
115	$XP=E_2+E_1$			
	$1F(((E_1.GE_1.E_1) \cdot GD) \cdot TG)$	117		
	$A_2=(A_1+E_3)/2$			
	$GD=10$	118		
117	$A_3=(A_1+E_1+A_2+E_2)/XP$			
	$X_4=X_3-E_3/A_1$			
	$E_3=E1\alpha(X_3)$			
	$1F(X_4.GE_0.0)$	121		
	$1F(X_3.GE_0.0)$	116		
	$TG=10$	122		
121	$1F(A_3=((X_4+E_3)/X_3)\cdot D\cdot EP)$	GJ	TG	116
122	$E_1=E_2$			
	$E_2=E_3$			
	$E_3=E_4$			
	$A_1=X_2$			
	$X_2=X_3$			
	$X_3=X_4$			
	$1F((A_1.GE_1.E_1) \cdot GD) \cdot TG)$	111		
116	$GD=F=A_4$			
	$A_5=E_4$			
	$A_6=EP.GT$			
	$C_1=EP.GT$			

RESOLVA A INTEGRAL, PEGO METODO DE SIMPSON,
DA FUNCAO DISTRIBUICAO BIFA COM OS PARAMETROS ESTIMADOS
NOS VARIOS INTERVALOS.

	$P^k(0) = P$
	$\gamma^{P_k}(0) = \alpha$
	$\partial^k \gamma(1) = 1, \text{ICI}$
	$P^k(1) = P + I_k + \alpha S_k P$
	$\gamma^{P_k}(1) = \gamma^P + I_k + \alpha S_k P$
	$\partial^k(I_k + 1) = P + I_k + \alpha S_k P$
2.1	$\gamma^{P_k}(IC_1 + 1) = 2I + I_k + \alpha S_k P$
	$\alpha = (\gamma^P(1) - \gamma^P(0)) / IC_1$
	$\partial^k(2IC_1 + 1) = 2I + I_k + \alpha S_k P$
	$\partial^k(2IC_1 + 2) = 2I + I_k + \alpha S_k P$
	$10PA = 0$
	$4GB = nCD$
	$\partial^k(2IC_1 + 3) = 2I + S_k P$
	$\lambda I_k(b) = \alpha I_k(b)$
	$\partial^k(2IC_1 + 4) = 2I + bI$
	$\lambda I_k(bI + 1) = \lambda I_k(b) + bI$
	$\gamma^{PS}(bI + 1) = \gamma^{PS}(bI + 1) * ((P_k(1) + 1) * \gamma^P(bI + 1)) * ((C_k^P(bI + 1) * C_k^P(bI + 1)))$
2.4	$\gamma^{PS}(bI + 2) = 1, 29$
	$\gamma^{PS}(1) = 1, 0$
	$\lambda I_k^{\text{exp}}(1) = 0, 6$
	$\gamma^{PS}(1, 1) = \gamma^{PS}(2 * bI + 1) + \gamma^{PS}(bI + 1)$
	$\gamma^{PS}(1, 1) = \gamma^{PS}(2 * bI + 1) + \gamma^{PS}(bI + 1)$
2.5	$C_k^P(bI + bI)$
	$\gamma^{PS}(39) = \log(S(39) + YI_{\text{exp}}(29))$
	$\gamma^{PS}(b) = 17 * (\gamma^{PS}(39) + YI_{\text{exp}}(29)) + 2 * \gamma^{PS}(29) + 4 * \gamma^{PS}(39)) / 3.$
	$10PA = T_{\text{DT}} + PS(b)$

213

CONTINU

84

974

*WRITE(UNIT,974)PF(I),PBC(J)

FORMAT(//,2X,'DISTRIBUCAO BFTA COM F =',F9.4,5X,'C =',F9.4)

2

EX 6 O TESTE QUI-QUADRADO DA FUNCAO MONTADA COM
A FUNCAO DISTRIBUCIONAL EXP(A,P,Q)

3

IF(L.NE.0)GO TO 216

IF(J.NE.0)GO TO 216

*WRITE(UNIT,972)

972

1*PROB48='1/3X,FREQ.',75,'FREQ.',22,'FREQ.',8X,'FREQ.',5X,
216 0.706,L=1,NCL

IF(L)=NFS(L)/TOTA

PRO(L)=NFS(L)/TOTA

NDV(L)=NC(L)

IF(L.LT.0)GO TO 216

IF(L.GT.0)GO TO 216

PRNT('1/3X,PS.4,3X,F5.4,7X,IR,4X,(3,2X,P7.5,3X,P7.5)

973

FORMAT(//,3X,PRNT(4,AS(L),NS(L),IP(L),PR(L),TT(L))

216

CONTINUE

D112=.0

L=NCL+1

217

L=L-1

218

IF(PRG(L).LT.5.0)GO TO 218

D110=((NDV(L)-PRO(L))*#2)/PRO(L)+#110

IF(L.LE.12)GO TO 207

L=J

844

L=L+1

843

IF(PRG(L).LT.5.0)GO TO 842

D110=((NDV(L)-PRO(L))*#2)/PRO(L)+#110

IF(L.LE.11)GO TO 844

GO TO 209

842

L=L+1

NGL=NGL+1

PRO(L)=PPG(L+1)+PRO(L)

NDV(L)=NDV(L+1)+NDV(L)

GO TO 843

218

L=L+1

NGL=NGL+1

PRO(L)=PPG(L+1)+PRO(L)

NDV(L)=NDV(L+1)+NDV(L)

GO TO 216

219

NGL=NGL+3

969

*WRITE(UNIT,969)NGL,NCL

202

FORMAT('1/2X,'DUT',0.0,DE0.1,0.0S =',F9.3,3Y,'CONT',I6,2X,'G.',6.1)

CONTINUE

END

A SUGERIR AS ALTERNATIVAS UTILIZADAS
PELA LISTA DE OS PARAMETROS P, Q
DA DISTRIBUCAO BFTA.

ESTIMACAO PARABOLICA P

```

FUNCTION FIN(YP)
COMMON/T2/P,C2,C1,XX
EXTERNAL F41
IF(YP.LT.-1.0)YP=-.99999999
AX=PG(YP)
XX=0.1+0.2*PG(YP)
EPS=1.0E-10
BS=1.0E-6
A2=0.0
IF(AA+BX+1.0).LT.1.0/XA=.1
EPS=1.0E-10
N2=100
XX1=0.0
IF(AA+BX+1.0).LT.1.0/XA=.1
EPS=1.0E-10
N2=100
XX1=0.0
IF(AA+BX+1.0).LT.1.0/XA=.1
EPS=1.0E-10
N2=100
XX1=0.0
128 IF(AA+BX+1.0).LT.1.0/XA=.1
EPS=1.0E-10
XX2=(BX+BS)/2.0
FF1=PHI(XA)
FF2=PHI(XX1)
FF3=PHI(XX2)
YY=FF2
IF1=YY
XX2=XX1
XX1=YY
131 IF(AA+FF2).LT.AA+FF1)GO TO 131
YY=FF2
FF2=FF1
FF1=YY
YY=XX2
XX2=XX1
XX1=YY
132 IF(AA+FF3).LT.AA+FF2)GO TO 132
YY=FF3
FF3=FF1
FF1=YY
YY=XX3
XX3=XX1
XX1=YY
133 IF(AA+FF3).LT.AA+FF2)GO TO 133
YY=FF2
FF2=FF3
FF3=YY
YY=XX2
XX2=XX3
XX3=YY
YY=XX1
135 ZZ=XX3-AA1
IF(YY.EQ.0.0)GO TO 136
ZZ=XX3-AA1
136 AA1=(FF3+FF2)/YY
AA2=(FF3-FF1)/ZZ
IF(FF1.GE.0.0.AND.FF3.LE.0.0)GO TO 134
IF(FF1.LE.0.0.AND.FF3.GE.0.0) GO TO 134
AA1=-FF3-FF1
AA2=FF2+FF3
GO TO 135
134 AA1=FF3-FF1
AA2=FF2-FF3
YY=FF2-FF1
137 IF(YY.EQ.0.0) GO TO 137
XX2=(XX1+XX3)/2.0
GO TO 138

```

137

```

XX3=(A1+ALP1+A2*ALP2)/YY
XX4=XX3-EF3/ALP3
EF4=EF1(X4)
IF(XX4>ALP1)GO TO 141
IF(XX3>ALP1)GO TO 136
GOTO 142

```

86

141

```
IF(AbS((X4-XX3)/XX4+LE*EPS))GO TO 136
```

142

```
EF1=EF2
```

```
EF2=EF3
```

```
EF3=EF4
```

```
XX1=XX2
```

```
XX2=XX3
```

```
XX3=XX4
```

```
IF(N2*GL>0)GO TO 131
```

136

```
(T=XX4
```

```
KS=EFFA
```

```
P=H1
```

```
E1a=UG(YF)+GC(P+YF)-C2
```

```
IF(E1a>0)
```

```
GOTO
```

C

CALCULA A INVERSA DA FUNCAO
DEGMA PHI,

$$\text{PHI}(x) = \frac{D - \ln(GAM(x))}{D(x)}$$

```

FUNCTION D11(z)
C1=408/T2/P C2,C1,XX
IF(T2>LE) {Z=0.0000001
C2=UG(Z)
E1=DG(Z)-XX
N1,T1,E1
END

```

CALCULA A APROXIMAÇÃO DA FUNCAO DEGMA

```

FUNCTION UG(x)
U1G(w)=ALG(w)-1.0/(2.0**w)-1.0/(12.0**w)
+1.0/(120.0**w+4)-1.0/(252.0**w)
X11=X1+1
X22=X1+2
X33=X1+3
IF(X1>1.0*ALP1*XX,GL,C1)DG=0.1G(X33)-1.0*22-1.0/X11-1.0/X1
IF(X1>2.0*ALP1*X1,GL,1.0)DG=0.1G(X22)-1.0/X11-1.0/X1
IF(X1>3.0*ALP1*X1,GL,2.0)DG=0.1G(X11)-1.0/X1
IF(X1>3.0)DG=0.1G(X1)
N1,T1,E1
END

```

CALCULA O PRODUTO DE TODAS AS TENSÕES

C

SUBROUTINE PBLK(I,J,K,L,R,D)
DIMENSION A(10,10),B(10,10),C(10,10)
DO 1 I=1,10
DO 1 J=1,10
S045=0.0
DO 2 K=1,10
S046=S045+A(I,K)*BLK(R,J)
P(I,J)=S046
END

MARK 2 RELEASED. MAG COPYRIGHT 1972

EDITED BY JOYCE CLARKE OXFORD DEG NUCLEAR PHYSICS 05TH NOV 1976
FORTRAN MACRO VERSION FOTRAN26.TEC

MARK 3 REVISED

MARK 4 REVISED

MARK 5 REVISED

MARK 5C REVISED

TE002

THIS SUBROUTINE REDUCES THE GIVEN LOWER TRIANGLE OF A SYMMETRIC MATRIX, A, STORED IN THE ARRAY A(M,N), TO TRIDIAGONAL FORM USING HOUSEHOLDER'S TRANSFORMATION. THE DIAGONAL OF THE RESULT IS STORED IN THE ARRAY D(M) AND THE SUPERDIAGONAL IN THE LAST N-1 STORES OF THE ARRAY E(M) (WITH THE ADDITIONAL ELEMENT E(0)=0). THE TRANSFORMATION MATRICES ARE ACCUMULATED IN THE ARRAY Z(M,N). THE ARRAY A IS LEFT UNALTERED UNLESS THE ACTUAL PARAMETERS CORRESPONDING TO M AND N ARE IDENTICAL.

1ST AUGUST 1971

INTEGER I, IA, II, IZ, JI, J, K, L, N
REAL ATOL, F, G, H, M, A(IA,N), D(M), E(M), Z(IZ,N)

DO 40 I=1,I

DO 20 J=1,I

Z(I,J) = A(I,J)

20 CONTINUE

40 CONTINUE

IF (N.EQ.1) GO TO 280

DO 200 II=2,4

I = II - 1 I + 2

L = I - 2

F = E(I,I-1)

G = 0.0

IF (L.EQ.0) GO TO 80

DO 60 K=I,L

G = G + Z(I,K)*Z(I,K)

60 CONTINUE

H = G + F*F

IF G IS TOO SMALL FOR ORTHOGONALITY TO BE GUARANTEED THE TRANSFORMATION IS SKIPPED

IF (G.GT.ATOL) GO TO 100

E(I) = F

H = G*G

GO TO 240

100 L = I + 1

S = SQRT(H)

IF (F.GE.0.0) G = -G

E(I) = G

H = H - F*G

Z(I,I-1) = F - G

F = 0.0

DO 100 J=1,I

Z(J,I) = Z(I,J)/H

G = 0.0

FOR K ELEMENT OF A&Z

DO 100 K=1,I

G = G + Z(J,K)*Z(I,K)

CONTINUE

JI = J + 1

IF (JI.GT.I) GO TO 100

```

      DO 140 K=1,L
      G = G + Z(K,J)*Z(J,K)
140      CONTINUE
2      ELEM = ELEMENT OF P
160      U(J) = G*P
      P = P + G*Z(J,I)
180      CONTINUE
3      FORM R
      RH = P/(N+L)
3      FORM REDUCED A
      DO 220 J=1,L
      E = Z(I,J)
      G = U(J) - E*R
      R(J) = G
      DO 200 K=1,L
      Z(J,K) = U(J,K) - E*S(K) - G*Z(I,K)
200      CONTINUE
220      CONTINUE
240      P(I) = 0
260      CONTINUE
280      S(I) = 0.0
      D(I) = 0.0
3      ACCUMULATION OF TRANSFORMATION MATRICES
300      DO 400 I=1,L
      U = I - 1
      IF (U(I),NE,0.0) GO TO 360
      DO 340 J=1,L
      G = 0.0
      DO 360 K=1,L
      G = G + Z(I,K)*Z(K,J)
340      Z(I,J) = Z(K,J) - G*S(K,I)
      CONTINUE
      DO 320 K=1,L
      Z(I,J) = Z(K,J) - G*S(K,I)
320      CONTINUE
340      CONTINUE
360      P(I) = Z(I,I)
      Z(I,I) = 1.0
      IF (Z(I,I),NE,1.0) GO TO 400
      DO 380 J=1,L
      Z(I,J) = 0.0
      Z(J,I) = 0.0
380      CONTINUE
390      CONTINUE
410      CONTINUE
430      END
450
500
SUBROUTINE ZGZAMM(D, A, B, C, L, I7, 1F11)
MARK 2 RELEASE. AND COPYRIGHT 1970
EDITED BY JYOTSNA CLARKE OXFORD 34G NUCLEAR PHYSICS 11TH SEP 1976
FORTRAN MACRO VERSION FPI*24.TEC
MARK 3 REVISED.
MARK 4 REVISED.
MARK 4.5 REVISED.

T462
THIS SUBROUTINE FINDS THE EIGENVALUES AND EIGENVECTORS OF A
TRIDIAGONAL MATRIX, T, GIVEN WITH ITS DIAGONAL ELEMENTS IN
THE ARRAY D(1) AND ITS SUBDIAGONAL ELEMENTS IN THE LAST "L"
- 1 SUBARRAY OF THE ARRAY E(1). USING QR TRANSFORMATIONS. THE
EIGENVALUES ARE OVERLAPPED BY THE DIAGONAL ELEMENTS IN THE
ARRAY D(1) IN ASCENDING ORDER. THE EIGENVECTORS ARE FORMED IN

```

THIS SUBROUTINE OVERWRITING THE ACCUMULATED
THE EIGENVALUES AS SUPPLIED BY THE SUBROUTINE EIGAJE. THE
SUBROUTINE WILL FAIL IF ANY ONE EIGENVALUE TAKES MORE THAN 30
ITERATIONS.

90

16 APRIL 1972

INTEGER P1,I1,I2,I3,I4,I5,I6,I7,I8,I9,I10,I11,I12,I13
DOUBLE PRECISION S,E,A,B,C,D,F,G,H,I,J,K,L,M,N,P,Q,R,SUM,T,U,V,W,X,Y,Z

REAL A,B,C,D,E,F,G,H,I,J,K,L,M,N,P,Q,R,SUM,T,U,V,W,X,Y,Z

DATA SPNHR/250,EGMMP/

IHAVE=IPRINT

IF (E.EQ.1) GO TO 30

DO 20 I=2,3

E(I-1)=E(I)

20 CONTINUE

40 E(n)=1.0

B=0.0

F=0.0

DO 300 L=1,n

J=0

H=10000*(ABS(P(L))+ABS(E(L)))

IF (B.LT.0) H=B

CHECK FOR SMALL SUB-DIAG ELEMENT

DO 50 M=L,n

IF (ABS(E(M)).LE.H) GO TO 80

60 CONTINUE

80 IF (B.EQ.0) GO TO 280

100 IF (J.EQ.30) GO TO 400

J=J+1

FORWARD SHIFT

G=P(L)

H=P(L+1)-G

IF (ABS(G).GE.AND(ABS(E(L)))) GO TO 120

P=H*G_S/E(L)

R=SQR(P*P+1.0)

S=P+R

IF (F.LT.0.0) W=P+R

DO 60 J=E(L)/W

GO TO 140

120 P=1.0*E(L)/W

R=SQR(P*P+1.0)

E(L)=E(L)*P/(1.0+R)

H=G-P(L)

I1=L+1

IF (I1.GE.n) GO TO 100

DO 160 I=I1,n

E(I)=E(I)-H

160 CONTINUE

180 F=F+H

C=TRANSFORMATION

P=D(E)

C=1.0

S=0.0

M1=N-1

DO 280 I1=L,M1

I=M1-I1+L

G=C*E(I)

H=S*P

IF (ABS(E(I)).LT.ABS(E(I1))) GO TO 280

C=E(I)/P

```

      R = SQRT(C*C+1.0)
      E(I+1) = S*R*S
      S = C/R
      C = 1.0/R
      GO TO 220
200   C = R/E(I)
      R = SQRT(C*C+1.0)
      E(I+1) = S*E(I)*R
      S = 1.0/R
      C = C/R
220   P = C*D(I) + S*G
      D(I+1) = H + D*(C*G + S*D(I))
C      EIGEN VECTOR
      DO 240 K=1,N
         H = Z(K,I+1)
         Z(K,I+1) = S*Z(K,I) + C*H
         Z(I,I) = C*Z(K,I) - S*H
240   CONTINUE
260   CONTINUE
      E(L) = S*P
      D(L) = C*P
      IF (K*D(E(L)),GT,0) GO TO 150
280   D(L) = D(L) + P
300   CONTINUE
C      ORDER EIGENVALUES AND EIGENVECTORS
      DO 380 J=1,N
         K = I
         P = D(I)
         I1 = I + 1
         IF (I1.GT.N) GO TO 340
         DO 320 J=I1,N
            IF (D(J).GE.P) GO TO 320
            K = J
            P = D(J)
320   CONTINUE
340   IF (P.EQ.0) GO TO 380
      D(K) = D(I)
      D(I) = P
      DO 360 J=1,I
         F = Z(J,I)
         Z(J,I) = Z(I,F)
         Z(I,F) = P
360   CONTINUE
380   CONTINUE
      IFAIL = 0
      RI = 0
400   IFAIL = POMAF(1$AVL,1,CNAME)
      RETURN
      END
      INTEGER FUNCTION POMAF(IFAIL, FREQS, SEQNRS)
      MARK 1 RELEASE NAG COPYRIGHT 1971
      MARK 3 REVISED
      MARK 4A REVISED JUL-75
      MARK 4.5 REVISED
      MARK 7 REVISED (DEC 1978) - (APR 1979)
      REFILLS THE VALUE OF IFAIL TERMINATES THE PROGRAM.
      IF A HARD FAULT OCCURS THIS ROUTINE CALLS A FURTHER AUXILIARY
      ROUTINE EIGENZ WHICH GIVES A TRACE, A FAILURE MESSAGE AND HALTS
      THE PROGRAM.
      INTEGER IFAIL, IFAIL, FREQS

```

92

SUBROUTINE E02ABF, NAG

MARK 2 RELEASED NAG COPYRIGHT 1972

EDITED BY JOYCE CLARKE OXFORD DEG NUCLEAR PHYSICS 05TH NOV 1976

FORTRAN MACRO VERSION FDTN2A.TEC

IF I = 0, SETS NERR TO CURRENT ERROR MESSAGE UNIT NUMBER
(SETTED IN NERR1).

IF I = 1, CHANGES CURRENT ERROR MESSAGE UNIT NUMBER TO
VALUE SPECIFIED BY NERR.

*** NOTE ***

THIS ROUTINE ASSUMES THAT THE VALUE OF NERR1 IS SAVED
BEFORE CALLS. IN SOME IMPLEMENTATIONS IT MAY BE
NECESSARY TO STORE NERR1 IN A DASHED COMMON
BLOCK /X02ABF/ TO ACHIEVE THIS.

-- SCALAR ARGUMENTS --

INTEGER I, NERR

-- LOCAL SCALARS --

INTEGER NERR1

DATA NERR1 /-1/

IF (I.EQ.0) NERR = NERR1

IF (I.EQ.1) NERR1 = NERR

RETURN

END

SUBROUTINE E02ABFA, IA, N, R, V, IV, E, TFAIL

MARK 2 RELEASED NAG COPYRIGHT 1972

EDITED BY JOYCE CLARKE OXFORD DEG NUCLEAR PHYSICS 11TH SEP 1976

FORTRAN MACRO VERSION FDTN2A.TEC

MARK 3 REVISED

MARK 4,5 REVISED

EIGENVALUES AND EIGENVECTORS OF A REAL SYMMETRIC MATRIX
1ST AUGUST 1971

INTEGER IPNAME, ISAVE, IFAIL, N, TA, IV

DOUBLE PRECISION SRNAME

REAL T0L, XAXA, ACTA,N), R(N), V(TV,N), C(N), X02ABE,

DATA SRNAME /&H E02ABF/

ISAVE = IPNAME

IFAIL = 1

T0L = X02ABE(XXXX)

CALL E01AJF(N, T0L, A, IA, R, E, V, IV)

T0L = X02ABE(XXXX)

CALL E02ABF(N, T0L, R, E, V, IV, TFAIL)

IF (TFAIL.NE.0) IFAIL = E01AAE(ITSAVE,IPNAME,SRNAME)

RETURNS,

END

VFR10K DE AMBIAS

0.20000E+02 -0.10000E+02 0.32000E+02 0.14000E+02 -0.30000E+02

MAYRIZ DE COBERTANCA

0.516961E+02	0.680775E+01	0.123143E+02	0.153909E+02	0.111201E+02
0.800775E+01	0.765625E+02	0.122614E+02	0.153248E+02	0.220797E+02
0.123143E+02	0.122614E+02	0.269361E+02	0.605984E+01	0.105516E+02
0.153909E+02	0.153247E+02	0.605984E+01	0.940729E+02	0.950426E+01
0.111201E+02	0.122797E+02	0.105616E+02	0.950426E+01	0.662596E+02

AUTOPVABDRPS

.263379E+02 .443009E+02 .515866E+02 .774783E+02 .122343E+03

MAYRIZ DE AUTOPVABDRPS

-0.314535E+00	0.688059E+00	0.577738E+00	0.871580E-02	-0.305834E+00
-0.129714E+00	0.245557E+00	-0.634929E+00	-0.491519E+00	-0.527398E+00
0.936251E+00	0.216751E+00	0.151300E+00	-0.125824E+00	-0.194243E+00
0.201429E-01	-0.194807E+00	-0.107310E+00	0.728759E+00	-0.647119E+00
-0.82159E-01	-0.617533E+00	0.478202E+00	-0.459795E+00	-0.414516E+00

CLASSE 1
 AT 1(10.000, 20.000)
 AT 2(-4.000, 12.000)
 AT 3(28.000, 35.000)
 AT 4(20.000, 34.000)
 AT 5(-35.000, -25.000)

CLASSE 2
 AT 1(20.001, 35.000)
 AT 2(-4.000, 12.000)
 AT 3(28.000, 35.000)
 AT 4(20.000, 34.000)
 AT 5(-35.000, -25.000)

CLASSE 3
 AT 1(5.000, 20.000)
 AT 2(-16.000, -4.000)
 AT 3(21.000, 28.000)
 AT 4(7.000, 20.000)
 AT 5(-47.000, -36.000)

CLASSE 4
 AT 1(20.001, 35.000)
 AT 2(-16.000, -4.000)
 AT 3(21.000, 28.000)
 AT 4(7.000, 20.000)
 AT 5(-47.000, -36.000)

CLASSE 5
 AT 1(5.000, 20.000)
 AT 2(-16.000, -4.000)
 AT 3(28.000, 35.000)
 AT 4(7.000, 20.000)
 AT 5(-35.000, -25.000)

CLASSE 6
 RT 1C 20.001, 35.0001
 RT 2C -16.000, -4.0001
 RT 3C 28.000, 35.0001
 RT 4C 7.000, 20.0001
 RT 5C -35.000, -25.0001

CLASSE 7
 RT 1C 5.000, 20.0001
 RT 2C -16.000, -4.0001
 RT 3C 35.000, 43.0001
 RT 4C 7.000, 20.0001
 RT 5C -25.000, -13.0001

CLASSE 8
 RT 1C 20.001, 35.0001
 RT 2C -16.000, -4.0001
 RT 3C 35.000, 43.0001
 RT 4C 7.000, 20.0001
 RT 5C -25.000, -13.0001

CLASSE 9
 RT 1C 10.000, 20.0001
 RT 2C -28.000, -16.0001
 RT 3C 28.000, 35.0001
 RT 4C -6.000, 7.0001
 RT 5C -36.000, -25.0001

CLASSE 10
 RT 1C 20.001, 30.0001
 RT 2C -28.000, -16.0001
 RT 3C 28.000, 35.0001
 RT 4C -6.000, 7.0001
 RT 5C -36.000, -25.0001

OS PONTOS TWISTED ALFABETICOS

CLASSE	1	PONTO	11.948	0.731	32.753	33.380	-35.580
CLASSE	2	PONTO	27.325	2.275	30.739	21.639	-34.800
CLASSE	3	PONTO	14.131	-11.450	23.095	12.614	-40.083
CLASSE	4	PONTO	24.939	-9.540	22.273	10.175	-37.394
CLASSE	5	PONTO	0.627	-5.394	30.559	7.185	-26.290
CLASSE	6	PONTO	22.929	-11.087	28.949	13.109	-31.548
CLASSE	7	PONTO	5.926	-0.402	40.191	11.701	-17.020
CLASSE	8	PONTO	30.699	-10.769	37.447	12.702	-21.343
CLASSE	9	PONTO	10.379	-27.763	31.199	1.211	-32.828
CLASSE	10	PONTO	20.488	-20.396	30.583	3.711	-32.129

NÚMERO TOTAL DE PONTOS CLASSIFICADOS = 2000

CEFTUE = 1769

ERRAUDS = 291

INTERVALOS		FREQ. ABS.	FREQ. EST.	FREQ. REL.	PROBAB.
INF.	SUP.				
.6000	.6249	0	0	.00000	.00001
.6249	.6497	1	1	.00050	.00025
.6497	.6745	5	4	.00250	.00197
.6745	.6993	15	14	.00750	.00712
.6993	.1243	35	34	.17500	.1713
.1243	.1492	63	64	.31500	.3185
.1492	.1740	96	99	.44000	.44961
.1740	.1989	139	135	.60500	.6774
.1989	.2238	154	167	.67600	.68346
.2238	.2486	198	189	.94000	.9455
.2486	.2735	201	203	.10050	.9978
.2735	.2984	188	198	.94000	.9901
.2984	.3232	174	196	.38700	.9297
.3232	.3481	187	160	.69250	.8300
.3481	.3729	139	141	.36050	.07068
.3729	.3978	120	115	.06000	.05754
.3978	.4227	106	90	.05000	.04481
.4227	.4475	66	67	.03200	.03347
.4475	.4724	54	46	.02700	.02393
.4724	.4973	28	35	.01400	.01037
.4973	.5221	21	21	.00750	.01070
.5221	.5470	17	13	.00950	.00667
.5470	.5718	4	8	.00200	.00395
.5718	.5967	3	4	.00150	.00222
.5967	.6216	2	2	.00100	.00110

SUMA CUADRADO OBS = 11.794 COM 19 G. F.

DISTRIBUTORICAO BETA COM P = 6.1946 Q = 14.6692

UFI-QUADRADO OBS = 11.452 CM 18 g. r.

DISTRIBUTORICAO BETA COM P = 6.1946 Q = 14.6153

UFI-QUADRADO OBS = 11.555 CM 18 g. r.

DISTRIBUTORICAO BETA COM P = 6.1946 Q = 14.5415

UFI-QUADRADO OBS = 12.105 CM 18 g. r.

DISTRIBUTORICAO BETA COM P = 6.1946 Q = 14.4677

UFI-QUADRADO OBS = 13.102 CM 18 g. r.

DISTRIBUTORICAO BETA COM P = 6.1946 Q = 14.8368

UFI-QUADRADO OBS = 12.582 CM 18 g. r.

DISTRIBUTORICAO BETA COM P = 6.1946 Q = 14.9106

UFI-QUADRADO OBS = 13.815 CM 18 g. r.

DISTRIBUTORICAO BETA COM P = 6.1946 Q = 14.9844

UFI-QUADRADO OBS = 15.495 CM 18 g. r.

DISTRIBUTORICAO BETA COM P = 6.1946 Q = 15.0582

UFI-QUADRADO OBS = 17.021 CM 18 g. r.

DISTRIBUTORICAO BETA COM P = 6.0741 Q = 14.7630

UFI-QUADRADO OBS = 12.537 CM 18 g. r.

DISTRIBUTORICAO BETA COM P = 6.0741 Q = 14.6692

UFI-QUADRADO OBS = 11.754 CM 18 g. r.

DISTRIBUICAO BETA COM P = 6.0741 Q = 14.6153

$\mu_{II_1} - \mu_{I\bar{I}DRAFT}$ OBS = 11.418 COM 18 G. T.

DISTRIBUICAO BETA COM P = 6.0741 Q = 14.5415

$\mu_{II_1} - \mu_{I\bar{I}DRAFT}$ OBS = 11.527 COM 18 G. T.

DISTRIBUICAO BETA COM P = 6.0741 Q = 14.4677

$\mu_{II_1} - \mu_{I\bar{I}DRAFT}$ OBS = 12.083 COM 18 G. T.

DISTRIBUICAO BETA COM P = 6.0741 Q = 14.8368

$\mu_{II_1} - \mu_{I\bar{I}DRAFT}$ OBS = 13.765 COM 18 G. T.

DISTRIBUICAO BETA COM P = 6.0741 Q = 14.9106

$\mu_{II_1} - \mu_{I\bar{I}DRAFT}$ OBS = 15.439 COM 18 G. T.

DISTRIBUICAO BETA COM P = 6.0741 Q = 14.9844

$\mu_{II_1} - \mu_{I\bar{I}DRAFT}$ OBS = 17.561 COM 18 G. T.

DISTRIBUICAO BETA COM P = 6.0741 Q = 15.0582

$\mu_{II_1} - \mu_{I\bar{I}DRAFT}$ OBS = 20.353 COM 18 G. T.

DISTRIBUICAO BETA COM P = 6.0436 Q = 14.7630

$\mu_{II_1} - \mu_{I\bar{I}DRAFT}$ OBS = 13.764 COM 18 G. T.

DISTRIBUICAO BETA COM P = 6.0436 Q = 14.6892

$\mu_{II_1} - \mu_{I\bar{I}DRAFT}$ OBS = 12.541 COM 18 G. T.

DISTRIBUICAO BETA COM P = 6.0436 Q = 14.6153

$\mu_{II_1} - \mu_{I\bar{I}DRAFT}$ OBS = 11.764 COM 18 G. T.

DISTRIBUICAO BETA COM P = 6.0436 Q = 14.5415

QUADRADO QBS = 11.433 COM 18 G. T.

DISTRIBUICAO BETA COM P = 6.0436 Q = 14.4677

QUADRADO QBS = 11.548 COM 18 G. T.

DISTRIBUICAO BETA COM P = 6.0436 Q = 14.8368

QUADRADO QBS = 15.433 COM 18 G. T.

DISTRIBUICAO BETA COM P = 6.0436 Q = 14.9106

QUADRADO QBS = 17.760 COM 18 G. T.

DISTRIBUICAO BETA COM P = 6.0436 Q = 14.9844

QUADRADO QBS = 20.316 COM 18 G. T.

DISTRIBUICAO BETA COM P = 6.0436 Q = 15.0582

QUADRADO QBS = 23.522 COM 18 G. T.

DISTRIBUICAO BETA COM P = 6.0436 Q = 14.7630

QUADRADO QBS = 15.074 COM 18 G. T.

DISTRIBUICAO BETA COM P = 6.0130 Q = 14.6892

QUADRADO QBS = 13.812 COM 18 G. T.

DISTRIBUICAO BETA COM P = 6.0130 Q = 14.6153

QUADRADO QBS = 12.695 COM 18 G. T.

DISTRIBUICAO BETA COM P = 6.0130 Q = 14.5415

QUADRADO QBS = 11.823 COM 18 G. T.

100

DISTRIBUICAO BETA COM P = 0.0130 Q = 14.4677

μ_1 -QUADRADO OBS = 11.497 SEM 18 S.E.T.

DISTRIBUICAO BETA COM P = 0.0130 Q = 14.8368

μ_1 -QUADRADO OBS = 17.778 SEM 19 S.E.T.

DISTRIBUICAO BETA COM P = 0.0130 Q = 14.9106

μ_1 -QUADRADO OBS = 20.329 SEM 19 S.E.T.

DISTRIBUICAO BETA COM P = 0.0130 Q = 14.9844

μ_1 -QUADRADO OBS = 23.531 SEM 19 S.E.T.

DISTRIBUICAO BETA COM P = 0.0130 Q = 15.0582

μ_1 -QUADRADO OBS = 26.785 SEM 19 S.E.T.

DISTRIBUICAO BETA COM P = 5.9825 Q = 14.7630

μ_1 -QUADRADO OBS = 17.846 SEM 19 S.E.T.

DISTRIBUICAO BETA COM P = 5.9825 Q = 14.6892

μ_1 -QUADRADO OBS = 15.747 SEM 19 S.E.T.

DISTRIBUICAO BETA COM P = 5.9825 Q = 14.6153

μ_1 -QUADRADO OBS = 14.696 SEM 19 S.E.T.

DISTRIBUICAO BETA COM P = 5.9825 Q = 14.5415

μ_1 -QUADRADO OBS = 12.891 SEM 19 S.E.T.

DISTRIBUICAO BETA COM P = 5.9825 Q = 14.4677

μ_1 -QUADRADO OBS = 11.931 SEM 18 S.E.T.

DISTRICTICAO BETA COM P = 5.9825 Q = 14.8368
 QUADRADO QBS = 20.394 COM 18 G. T.

 DISTRICTICAO BETA COM P = 5.9825 Q = 14.9106
 QUADRADO QBS = 23.391 COM 18 G. T.

 DISTRICTICAO BETA COM P = 5.9825 Q = 14.9844
 QUADRADO QBS = 26.839 COM 18 G. T.

 DISTRICTICAO BETA COM P = 5.9825 Q = 15.0582
 QUADRADO QBS = 30.740 COM 18 G. T.

 DISTRICTICAO BETA COM P = 6.1351 Q = 14.7630
 QUADRADO QBS = 11.535 COM 18 G. T.

 DISTRICTICAO BETA COM P = 6.1351 Q = 14.6692
 QUADRADO QBS = 11.630 COM 18 G. T.

 DISTRICTICAO BETA COM P = 6.1351 Q = 14.6153
 QUADRADO QBS = 12.177 COM 18 G. T.

 DISTRICTICAO BETA COM P = 6.1351 Q = 14.5415
 QUADRADO QBS = 13.166 COM 18 G. T.

 DISTRICTICAO BETA COM P = 6.1351 Q = 14.4677
 QUADRADO QBS = 14.008 COM 18 G. T.

 DISTRICTICAO BETA COM P = 6.1351 Q = 14.8368
 QUADRADO QBS = 11.683 COM 18 G. T.

DISTRIBUICAO BETA COM P = 0.1351 Q = 14.9106

μ_1 -QUADRADO QBS = 12.076 Cm 18 g. r.

DISTRIBUICAO BETA COM P = 0.1351 Q = 14.9844

μ_1 -QUADRADO QBS = 13.914 Cm 18 g. r.

DISTRIBUICAO BETA COM P = 0.1351 Q = 15.0582

μ_1 -QUADRADO QBS = 15.1598 Cm 18 g. r.

DISTRIBUICAO BETA COM P = 0.1656 Q = 14.7630

μ_1 -QUADRADO QBS = 11.760 Cm 18 g. r.

DISTRIBUICAO BETA COM P = 0.1656 Q = 14.6892

μ_1 -QUADRADO QBS = 12.299 Cm 18 g. r.

DISTRIBUICAO BETA COM P = 0.1656 Q = 14.6153

μ_1 -QUADRADO QBS = 13.284 Cm 18 g. r.

DISTRIBUICAO BETA COM P = 0.1656 Q = 14.5415

μ_1 -QUADRADO QBS = 14.717 Cm 18 g. r.

DISTRIBUICAO BETA COM P = 0.1656 Q = 14.4677

μ_1 -QUADRADO QBS = 16.000 Cm 18 g. r.

DISTRIBUICAO BETA COM P = 0.1656 Q = 14.3936

μ_1 -QUADRADO QBS = 11.667 Cm 18 g. r.

DISTRIBUICAO BETA COM P = 0.1656 Q = 14.9106

μ_1 -QUADRADO QBS = 12.020 Cm 18 g. r.

ESTRUTURAICAO BETA COM P = 6.1956 Q = 14.9844

$\Delta U_1 - \Delta U_{ADP}^{(0)} \text{ DGS} = 12.819 \text{ COM } 18 \text{ g. r.}$

ESTRUTURAICAO BETA COM P = 6.1956 Q = 15.0582

$\Delta U_1 - \Delta U_{ADP}^{(0)} \text{ DGS} = 14.963 \text{ COM } 18 \text{ g. r.}$

ESTRUTURAICAO BETA COM P = 6.1962 Q = 14.7630

$\Delta U_1 - \Delta U_{ADP}^{(0)} \text{ DGS} = 12.969 \text{ COM } 18 \text{ g. r.}$

ESTRUTURAICAO BETA COM P = 6.1962 Q = 14.6892

$\Delta U_1 - \Delta U_{ADP}^{(0)} \text{ DGS} = 13.449 \text{ COM } 18 \text{ g. r.}$

ESTRUTURAICAO BETA COM P = 6.1962 Q = 14.6153

$\Delta U_1 - \Delta U_{ADP}^{(0)} \text{ DGS} = 14.877 \text{ COM } 18 \text{ g. r.}$

ESTRUTURAICAO BETA COM P = 6.1962 Q = 14.5415

$\Delta U_1 - \Delta U_{ADP}^{(0)} \text{ DGS} = 16.754 \text{ COM } 18 \text{ g. r.}$

ESTRUTURAICAO BETA COM P = 6.1962 Q = 14.4677

$\Delta U_1 - \Delta U_{ADP}^{(0)} \text{ DGS} = 19.081 \text{ COM } 18 \text{ g. r.}$

ESTRUTURAICAO BETA COM P = 6.1962 Q = 14.3836

$\Delta U_1 - \Delta U_{ADP}^{(0)} \text{ DGS} = 11.936 \text{ COM } 18 \text{ g. r.}$

ESTRUTURAICAO BETA COM P = 6.1962 Q = 14.9106

$\Delta U_1 - \Delta U_{ADP}^{(0)} \text{ DGS} = 11.849 \text{ COM } 18 \text{ g. r.}$

ESTRUTURAICAO BETA COM P = 6.1962 Q = 14.9044

$\Delta U_1 - \Delta U_{ADP}^{(0)} \text{ DGS} = 12.207 \text{ COM } 18 \text{ g. r.}$

DISTRI^BUTICA^D BETA COM P = 6.1962 Q = 15.0582
 001=QUADRADO D_{BS} = 13.011 COM 18 G. T.

 DISTRI^BUTICA^D BETA COM P = 6.2267 Q = 14.7630
 001=QUADRADO D_{BS} = 13.064 COM 18 G. T.

 DISTRI^BUTICA^D BETA COM P = 6.2267 Q = 14.6692
 001=QUADRADO D_{BS} = 15.086 COM 18 G. T.

 DISTRI^BUTICA^D BETA COM P = 6.2267 Q = 14.6153
 001=QUADRADO D_{BS} = 16.057 COM 18 G. T.

 DISTRI^BUTICA^D BETA COM P = 6.2267 Q = 14.5415
 001=QUADRADO D_{BS} = 19.279 COM 18 G. T.

 DISTRI^BUTICA^D BETA COM P = 6.2267 Q = 14.4677
 001=QUADRADO D_{BS} = 22.053 COM 18 G. T.

 DISTRI^BUTICA^D BETA COM P = 6.2267 Q = 14.8366
 001=QUADRADO D_{BS} = 12.089 COM 18 G. T.

 DISTRI^BUTICA^D BETA COM P = 6.2267 Q = 14.9106
 001=QUADRADO D_{BS} = 12.161 COM 18 G. T.

 DISTRI^BUTICA^D BETA COM P = 6.2267 Q = 14.9844
 001=QUADRADO D_{BS} = 12.079 COM 18 G. T.

 DISTRI^BUTICA^D BETA COM P = 6.2267 Q = 15.0582
 001=QUADRADO D_{BS} = 12.443 COM 18 G. T.

BIBLIOGRAFIA

BAKHVALOV, N.S. (1977). Numerical Methods. MIR Publishers.

BECKMAN, R.J. e TIETJEN, G.L. (1978). Maximum Likelihood Estimation for the Beta Distribution. *J. Statist. Comput. Simul.*, 7, 253-258.

DAVIS, P.J. e RABINOWITZ, P. (1975). Methods of Numerical Integration. Academic Press.

FISZ, M. (1963). Probability Theory and Mathematical Statistics. 3^a edition. John Wiley & Son.

FUKUNAGA, K. (1972). Introduction to Statistical Pattern Recognition. Academic Press.

HUMPHREYS, L.G. (1939). Acquisition and Extinction of Verbal Expectations in a Situation Analogous to Conditioning. *Journal of Experimental Psychology*, 25(3), 294-301.

IOSIFESCU, M. e THEODORECU, R. (1969). Random Processes and Learning. Springer-Verlag.

LUKE, Y.L. (1969). The Special Functions and their Approximations.
Academic Press.

RATHIE, P.N. e ROHRER, H.G. (1983). The Exact Distribution of Products of Random Variables (submetido a publicação).

ROHRER, H.G. (1975). A Supervised Network of Adaptive Automata for Pattern Recognition - Arbeitsberichte des IMMD, Band 8, nº 8, 1-41.

ROHRER, H.G. (1978). Processos de Aprendizagem. Atas do 3º SINAPE, 153-159.

ROHRER, H.G. (1980). Sobre a Construção de Operadores em Processos de Aprendizagem para Classificação Automática. Atas do 4º SINAPE, 291-299.